

UNIVERSIDAD NACIONAL AUTONOMA DE MEXICO
FACULTAD DE QUIMICA



**ESTUDIO DE AUMENTO DE CAPACIDAD DE
EVAPORACION DE SALMUELAS UTILIZANDO
EVAPORADORES DE ALTA PRESION**

RODOLFO QUINTERO RAMIREZ

MEXICO, D. F.

1971



UNAM – Dirección General de Bibliotecas

Tesis Digitales
Restricciones de uso

DERECHOS RESERVADOS ©
PROHIBIDA SU REPRODUCCIÓN TOTAL O PARCIAL

Todo el material contenido en esta tesis está protegido por la Ley Federal del Derecho de Autor (LFDA) de los Estados Unidos Mexicanos (México).

El uso de imágenes, fragmentos de videos, y demás material que sea objeto de protección de los derechos de autor, será exclusivamente para fines educativos e informativos y deberá citar la fuente donde la obtuvo mencionando el autor o autores. Cualquier uso distinto como el lucro, reproducción, edición o modificación, será perseguido y sancionado por el respectivo titular de los Derechos de Autor.

UNIVERSIDAD NACIONAL AUTONOMA DE MEXICO
FACULTAD DE QUIMICA

ESTUDIO DE AUMENTO DE CAPACIDAD DE
EVAPORACION DE SALMUELAS UTILIZANDO
EVAPORADORES DE ALTA PRESION

T E S I S

QUE PARA OBTENER EL TITULO DE
INGENIERO QUIMICO
PRESENTA

RODOLFO QUINTERO RAMIREZ

MEXICO, D. F.

1971

JURADO ASIGNADO

PRESIDENTE.: ALBERTO BREMAUNTZ MONCE
VOCAL PROF.: JOSE E. GALINDO FUENTES
SECRETARIO PROF.: CUTBERTO RAMIREZ CASTILLO
1er. SUPLENTE PROF.: ENRIQUE MARCOS ROBLES
2o. SUPLENTE PROF.: ENRIQUE M. DE LA GAMA TOLEDO

SITIO DONDE SE DESARROLLO EL TEMA:

SOSA TEXOCOCO, S. A.

SUSTENTANTE

RODOLFO QUINTERO RAMIREZ

ASESOR DEL TEMA

ING. ALBERTO BREMAUNTZ M.

ÍNDICE

	Pág.
1.- INTRODUCCION.....	4
2.- DESCRIPCION DEL PROCESO UTILIZADO EN LA FABRICACION DE CARBONATO DE SODIO Y SOSA, A PARTIR DE SALMIGUERAS NATURALES.....	6
3.- DETERMINACION DE LOS FACTORES CONTROLANTES DE LA OPERACION.....	10
a).- Balance de vapor.....	10
b).- Balance de materia de función de la capacidad instalada de generación de vapor..	18
c).- Condiciones de operación existentes.....	25
4.- PLANTEAMIENTO DE LAS DIVERSAS ALTERNATIVAS... .	28
a).- Efectos cero.	
b).- Nuevo triple efecto..	
5.- SELECCION DE LA ALTERNATIVA MAS VIABLE Y CALCULO DEL EVAPORADOR CONSIDERANDO LA VARIACION DE LA PRESION DE ALIMENTACION DEL VAPOR.....	32
6.- CALCULO DEL EQUIPO ADICIONAL.....	63
7.- ESTIMACION ECONOMICA DEL PROYECTO.....	66
8.- CONCLUSIONES.....	67
9.- REFERENCIAS.....	72

1.- INTRODUCCION.

El presente estudio tiene por objeto lograr un aumento en la capacidad de evaporación de salmueras naturales para la producción de carbonato de sodio y sosa cáustica en Sosa Texco co, S. A.

En el estudio se pretende mostrar el uso de evaporadores de alta presión con la finalidad de utilizar en mejores condiciones el vapor disponible para evaporación.

Se cuantificó el vapor que se expande actualmente en válvulas antes de consumirlo en los evaporadores de la planta; de ahí partió el estudio que consistió en emplear presiones mayores a las tradicionalmente aplicadas en los evaporadores, determinando las capacidades adicionales que se pueden conseguir con los aumentos de presión del vapor de calentamiento.

Para ello se determinaron los factores controlantes particulares de la planta, lo cual se consiguió mediante un balance de materia y de calor y el conocimiento de las condiciones de operación actuales.

Conocidos los factores regulantes, se plantearon diversas alternativas y se buscó determinar la mejor.

Se fijaron las dimensiones y características del equipo necesario, así como sus accesorios. Finalmente se hizo un estudio económico del proyecto.

En la planta se cuenta actualmente con 3000 T/D de vapor vivo y 750 de vapor degradado. Los evaporadores tienen una economía de 1.86, lo cual significa que se evaporan 6975 T/D; si se colocan nuevos evaporadores, la economía aumentará a 2.40 y se tendrán 7200 T/D, que sumadas a las 750 hacen un total de -- 8595 T/D, con lo que se logra un aumento de evaporación de 1620 T/D. Esto significa un aumento de 160 T/D de soda, pues se necesitan aproximadamente 10 T/D de evaporación por 1 T/D de soda.- Ahora bien si se desean las 8595 T/D pero con economía de 1.86, se necesita entonces aumentar el vapor vivo a 3870 T/D.

2.- DESCRIPCION DEL PROCESO UTILIZADO EN LA FABRICACION DE CARBONATO DE SODIO Y SOSA A PARTIR DE SALMURAS.

En el lago de Texcoco, el punto más bajo de la gran cuenca de el Valle de México, las aguas de lluvia no han tenido otra salida más que la evaporación solar, por lo que todos los acarreos de las corrientes que circulaban por las vertientes, tanto sólidos en suspensión como sales disueltas, se fueron acumulando.

En la actualidad dichas sales, que constituyen la materia prima, se extraen por bombeo de pozos cuya concentración promedio (concentración Alcali total de 3 a 7%, variable según la localización), queda expresado en la tabla I (4).

TABLA I

Composición y concentración de sales en las aguas del subsuelo del vaso de Texcoco.

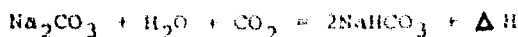
AT (Alcali Total como Na_2CO_3) 6.1000 g/100 ml

Cl (Como NaCl)	6.5000	"
Na_2CO_3	5.4000	"
NaHCO_3	1.4000	"
K (como K ₂ O)	0.5000	"
SiO_2	0.0110	"
Ca (como CaO)	0.0005	"
Mg (como MgO)	0.0010	"

Fe_2O_3	0.0015	-
Al_2O_3	0.0014	-
$\text{S}(\text{como } \text{Na}_2\text{SO}_4)$	0.1150	-
Li	0.3000	ppm
B	0.1600	-

Estas salmueras se hacen circular a través de diferentes vasos de un evaporador solar, conocidos como "el caracol", donde aumenta la concentración de sales de dichas salmueras; así se obtiene la materia prima en concentraciones que varían de 6 a 11%, según la estación, que se envía a la planta en donde se procesa en la forma siguiente:

Las salmueras provenientes del caracol son enviadas al departamento de evaporación donde la concentración de sales es incrementada hasta un valor conveniente, dependiendo de la relación de las mismas. Posteriormente, se hacen pasar a través de unas torres carbonatadoras, en las que se inyecta CO_2 a contracorriente, efectuándose la siguiente reacción:



De las torres de carbonatación se obtienen dos corrientes; una de gases diluidos y otra de magma. Esta última se hace pasar a través de un equipo de filtración donde se separan los cristales de bicarbonato de sodio, los que a continuación pasan a través de unos hornos "Herreshoff", donde el material es cal-

cinado, obteniéndose así el producto final.

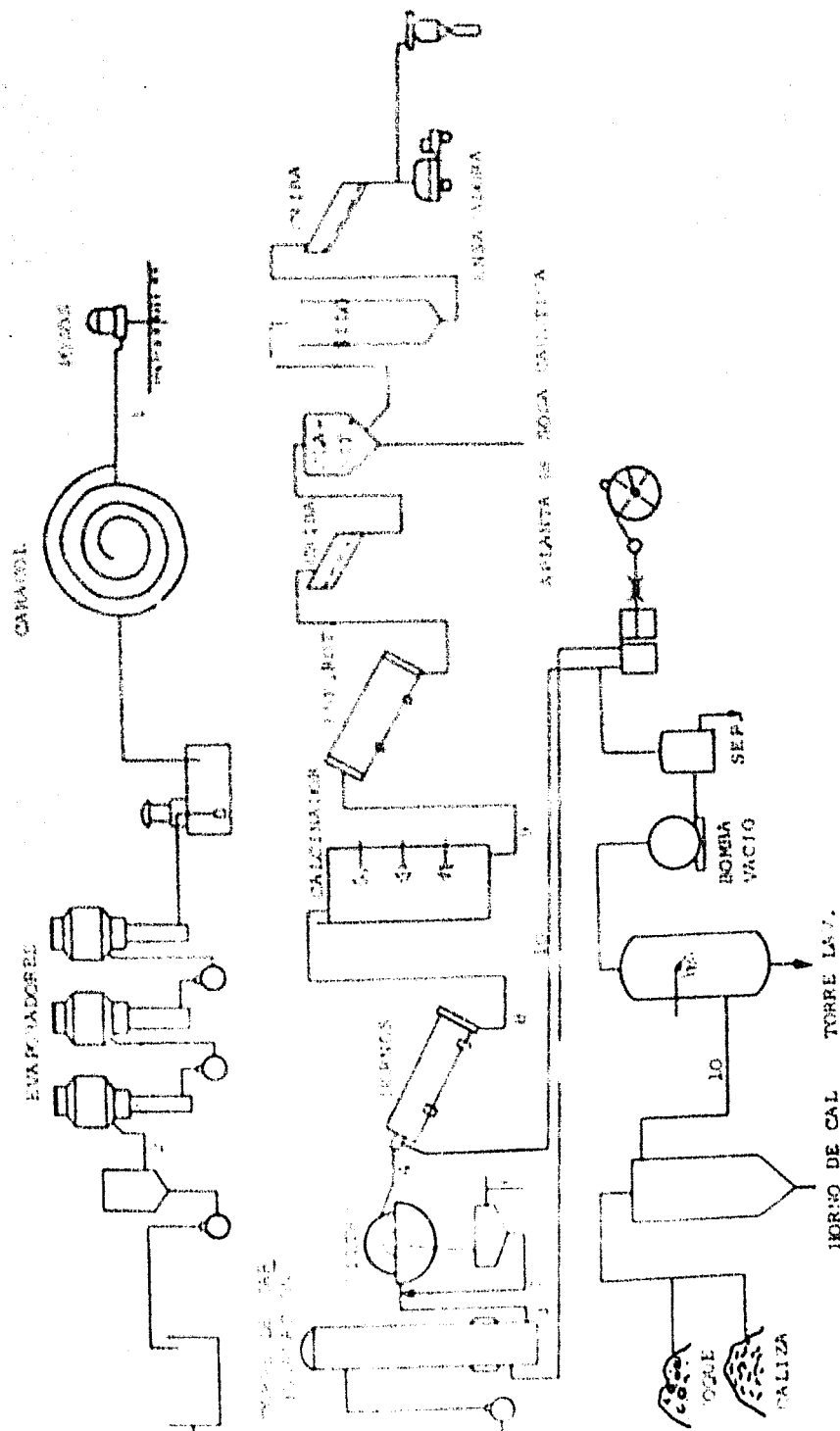
Las aguas madres de filtros se envían a unos asentadores con objeto de recuperar el bicarbonato que va en suspensión; de los asentadores las aguas madres saturadas de bicarbonato, son caustificadas con el propósito de evitar que el bicarbonato de sodio que aún queda en las aguas madres, se precipite en las salinas.

En la figura 1 se muestra el diagrama del flujo seguido en el proceso. Los números que aparecen en ella se describen a continuación.

Corrientes de Proceso

- 1.- Salmueras diluidas.
- 2.- Salmueras concentradas.
- 3.- Corriente de magma.
- 4.- Corriente de cristales de bicarbonato.
- 5.- Corriente de aguas madres calientes.
- 6.- Corriente de aguas madres calientes decantadas.
- 7.- Corriente de bicarbonato (recuperación).
- 8.- Corriente de carbonato de sodio.
- 9.- Corriente de carbonato de sodio calcinado.
- 10.- Corriente de CO₂.

Fig. 1



3.- DETERMINACION DE LOS FACTORES CONTROLANTES DE LA OPERACION.

Con el objeto de determinar cuáles son las condiciones-de operación de la planta, se procedió a efectuar un balance -de vapor para conocer la cantidad y calidad del vapor disponi-bile.

También se realizó un balance para determinar la capaci-dad productiva de la planta, en función de la capacidad instalada de generación de vapor y finalmente, se hizo una recopila-ción de datos de operación y características de un triple efec-to.

a).- Balance de Vapor

En la primera parte se indica la capacidad de genera-ción de las 9 calderas instaladas junto con los consumos en má-quinas y algunos aparatos, que no varía con las condiciones de los procesos de fabricación y que pueden considerarse "consu-mos fijos de vapor". Tomando en cuenta además que el vapor uti-lizado en máquinas realmente no se consume, sino que es degra-dado a 4.2 Kg/cm²man. y 92.5% de calidad, se anota el vapor --"producido" en las máquinas de la planta al que se llama "va-por degradado". En la segunda parte se hace referencia a las -capacidades de producción factibles con el vapor disponible pa-ra procesos, siendo este último la diferencia entre el vapor -total producido y los consumos fijos.

BALANCE DE VAPOR

Generación y consumos de vapor vivo y de vapor degradado.

I. Vapor vivo (16 Kg/cm² min)

A. Generación. Capacidad instalada.

	T/D	lb/hr
Calderas 1 a 5	2 400	220 000
Caldera 6 (c.c. máxima)	875	80 000
Caldera 7	1 090	100 000
Caldera 8 (c.c. máxima)	1 680	154 000
Caldera 9	<u>820</u>	<u>75 000</u>
	<u>6 865</u>	<u>629 000</u>

B. Consumos (en máquinas de vapor y eyectores)

Calderas

Calderas 1 a 5	419	38 400
Caldera 6	150	13 750
Caldera 7	321	29 400
Caldera 8	212	19 450
Compresores de aire	<u>158</u>	<u>14 500</u>
	<u>1 260</u>	<u>115 500</u>

Bicarbonato

Nash CL-6001	197	18 100
Nash H-8 (2)	284	26 100
Compresores de CO ₂ (11)	656	60 130

Efectores de salineras	100	9 170
Reactores	<u>44</u>	<u>4 000</u>
	1 281	117 500
Generación total vapor vivo	6 965	629 000
Consumos fijos vapor vivo	2 541	233 000
vapor vivo para procesos	4 324	396 000

II. Vapor desatendido (4.3 Kg/cm²gnant).

Provienen de las turbinas y de los compresores de la planta, con calidad de 97.9% y de los flashes de condensados y purgas de calderas. Se consume, principalmente en evaporadores.

A. Generación	T.D	lb/hr
Calderas		
Turbinas calderas 1 a 5	389	35 567
Turbinas caldera 6	139	12 742
Turbinas caldera 7	297	27 225
Turbinas caldera 8	196	17 967
Compresores de aire	<u>140</u>	<u>11 383</u>
	1 166	106 884
Flash purgas calderas de baja	47	4 308
Flash purgas calderas de alta	<u>34</u>	<u>3 100</u>
	1 247	114 292
Bicarbonato		
Nash C1600L	182	16 683
Nash H-B (2)	263	24 108
Compresores de CO ₂ (11)	607	55 642

Flash condensados hornos y

Calentador agua lavado hornos	<u>136</u>	<u>12 467</u>
	1 188	108 900

Generación total vapor degradado	2 435	223 192
----------------------------------	-------	---------

B. Consumos Vapor Degrado

Tratamiento de agua No. 1	121	11 100
Tratamiento de agua No. 2	62	5 700
Desaerador caldera 6	125	11 500
Desaerador caldera 8	212	19 400
Calentador agua lavado hornos	180	16 500
Cautificación aguas madre	<u>79</u>	<u>7 200</u>
	779	71 400

Generación total vapor degradado	2 435	223 192
----------------------------------	-------	---------

Consumo fijos vapor degradado	779	71 400
-------------------------------	-----	--------

Vapor dog. p/procesos	1 656	151 792
-----------------------	-------	---------

Vapor total disponible para procesos

Vapor vivo	4 1	396 000
Vapor degradado	<u>1 656</u>	<u>151 800</u>
	5 980	547 800

De lo anterior podemos deducir las siguientes conclusiones:

1. La capacidad instalada de generación de vapor vivo es de 6865 T/D (629 000 lb/hr), operando la planta

- termoeléctrica a máxima generación.
1. Las máquinas de la planta utilizan 2541 T/D de vapor vivo, de las cuales condensan 174. El vapor degradado asciende, entonces a 2367 T/D.
 2. El vapor disponible para procesos es de 5980 T/D, correspondiendo 4324 al vapor vivo y 1656 al vapor degradado.
 3. El consumo unitario de vapor en la producción de sosa caustica es de 6.80 Ton/tun., distribución en la forma siguiente:

	Ton vapor/Ton sosa
Disolviédores	0.505
Hidratadores	0.427
Caustificadores	0.253
Total de Caustificación	1.185
Evaporadores (10 a 40%)	5.615
Total Sosa Caustica	6.80

4. El consumo unitario en la fabricación de soda ash variaría con las concentraciones de las salmueras iniciales y con el aprovechamiento de álcali en la planta (fig. 2).

Salmeras Consumo unitario de vapor en soda ash

Iniciales Aprovechamiento de Álcali en la Planta

%AT	66%	69%	72%	75%
6.0	9.99	9.62	9.28	8.96
6.5	9.04	8.70	8.40	8.12
7.0	8.29	8.00	7.72	7.47
7.5	7.60	7.33	7.08	6.86
8.0	6.99	6.75	6.53	6.32

6. Las producciones de soda ash que podrían obtenerse para las condiciones anteriores, manteniendo en 190 T/D la producción de soda cáustica son (fig. 3):

Salmeras Producción de soda ash

Iniciales Aprovechamiento de Álcali en la planta

%AT	66%	69%	72%	75%
6.0	469	487	505	523
6.5	518	539	558	577
7.0	565	586	607	628
7.5	619	640	662	683
8.0	670	695	718	742

Valores en T/D.

Un aumento de 3% en el aprovechamiento de álcali representa 20 Ton adicionales de soda ash.

7. Los déficit de vapor y de evaporación de salmeras - para producciones constantes de 600 T/D de soda ash-

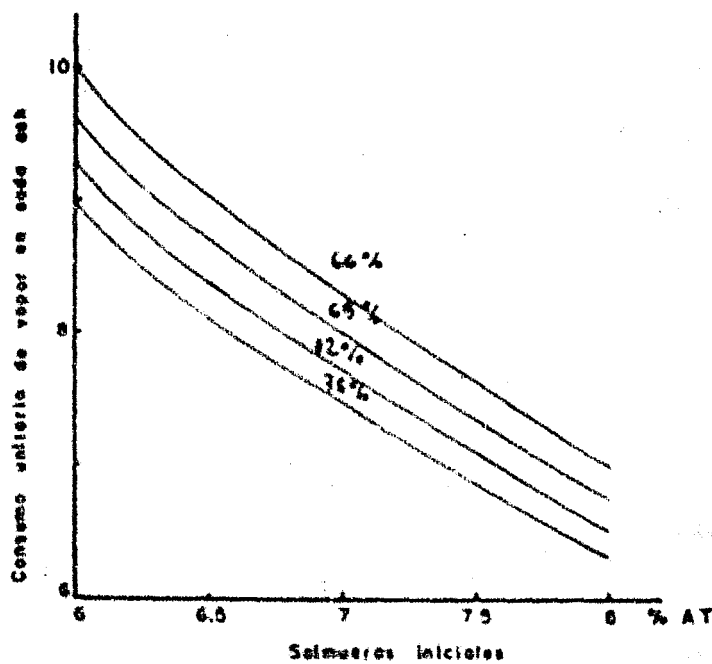


Fig. 2

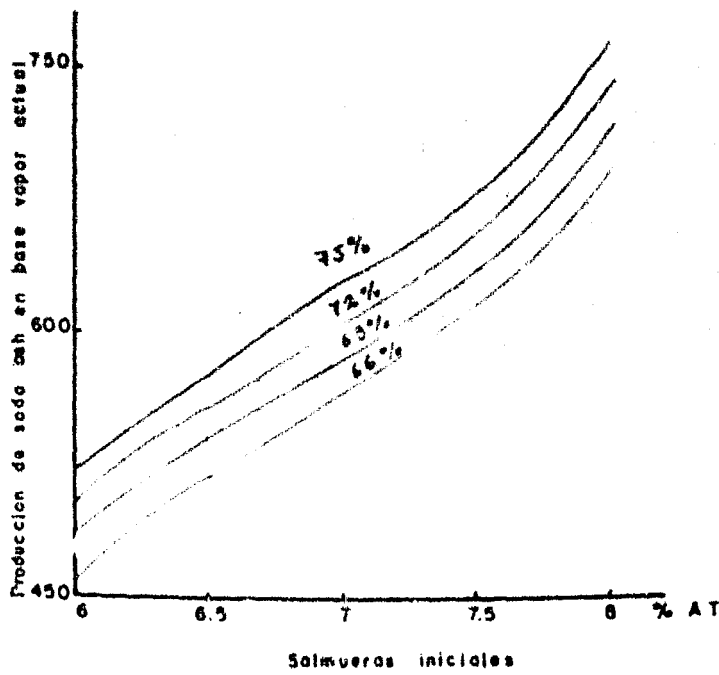


Fig. 3

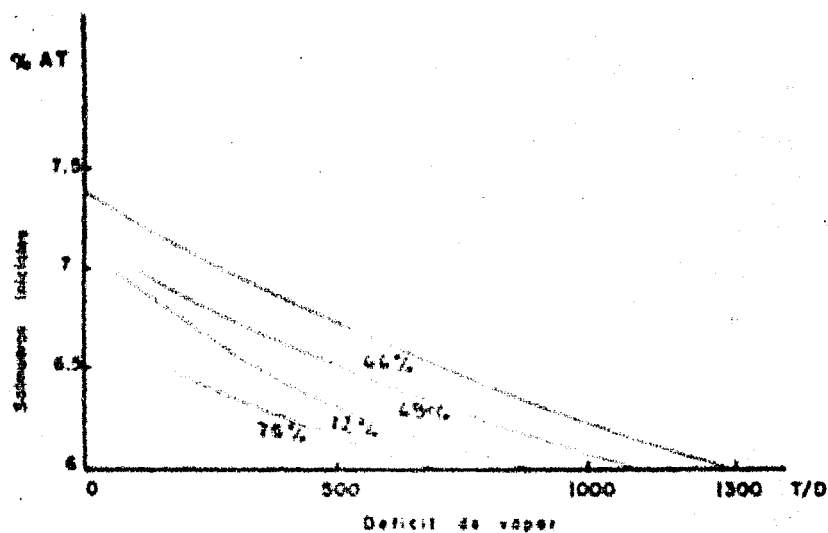
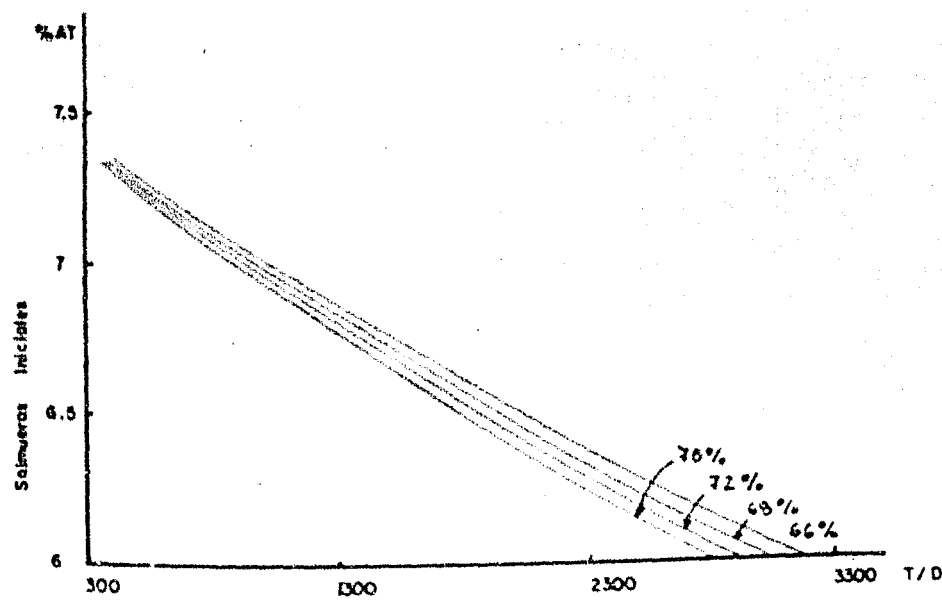


Fig. 4



Deficit de evaporacion de salineras

Fig. 5

y 190 T/D de soda cáustica, a distintas concentraciones de salmueras y aprovechamiento de Alcalí, son -- (figs. 4 y 5).

Salmueras Difecto de vapor

Iniciales Aprovechamiento de Alcalí

TAT	66%	69%	72%	75%
6.0	1 306	1 004	890	688
6.5	736	532	352	184
7.0	206	117	56	---
7.38	0	---	---	---

Valores en T/D.

Salmueras Difecto de evaporación de salmueras

Iniciales Aprovechamiento de Alcalí

TAT	66%	69%	72%	75%
6.0	3 146	3 009	2 884	2 786
6.5	2 006	1 919	1 839	1 765
7.0	1 034	989	948	910
7.38	422	407	387	371

Valores en T/D de agua evaporada.

b).-Balance de materia en función de la capacidad instalada de generación de vapor.

Establecido el vapor disponible para proceso, se determinaron las producciones de soda ash y de soda cáustica factibles, utilizando los parámetros y consideraciones siguientes:

1. En la elaboración de soda ash se consideraron los consumos por evaporación de las salmueras y por secado del bicarbonato. En soda clásica, por caustificación de soda ash y por concentración de la soda diluida.
2. El consumo de vapor en los evaporadores de salmuera (W_e), dependerá de la economía departamental (E_c) y del agua total evaporada (S). Estos dos parámetros son función, a su vez, de la concentración inicial de las salmueras (c_0), si se mantiene constante la concentración de descarga de los evaporadores (C_1). Si el agua evaporada depende, además, del aprovechamiento de Alcali en la planta (η), fijado por las condiciones del proceso mismo,

Con base en lo anterior, se establecen las siguientes ecuaciones:

$$W_e = \frac{E}{E_c} + E = \frac{S}{N} \left(\frac{1}{c_0} - \frac{1}{C_1} \right) \quad \text{---} \quad 1$$

en donde S representa la capacidad de producción de soda ash.

Fijando valores para las variables entre 6.0 y 11.0% p/v de Alcali total; C_1 igual a 17.2% p/v de Alcali total, que corresponde en realidad a la alimentación de las torres de carbonatación y N igual a 66%, el agua evaporada y el consumo de vapor en los evaporadores, para producir 1 tonelada de soda ash será:

Agua evaporada y consumo de vapor en los evaporadores de salineras para producir 1 Ton de soda-ash.

Co	E	Ec	We
Ton	T/T	Ton	
6.0	16.41	1.91	8.59
6.5	14.51	1.90	7.64
7.0	12.89	1.87	6.89
7.5	11.47	1.85	6.20
8.0	10.24	1.83	5.59
8.5	9.15	1.80	5.08
9.0	8.18	1.77	4.62
9.5	7.31	1.74	4.20
10.0	6.53	1.71	3.82
11.0	5.19	1.63	3.18

3. El consumo de vapor para secado del bicarbonato (Wh) se puede fijar en 1.4 ton de vapor por tonelada de soda ash, de acuerdo a mediciones directas de la planta. En estas condiciones el consumo total de vapor (Weh) para producir 1 ton de soda ash será:

Consumo total de vapor para producir

1 Ton de soda ash

Co	Weh
6.0	9.99

2.- DESCRIPCION DEL PROCESO UTILIZADO EN LA FABRICACION DE CARBONATO DE SODIO Y SOSA A PARTIR DE SALINERAS.

En el lago de Texcoco, el punto más bajo de la gran cuenca del Valle de México, las aguas de lluvia no han tenido otra salida más que la evaporación solar, por lo que todos los acarreos de las corrientes que circulaban por las vertientes, tanto sólidos en suspensión como sales disueltas, se fueron acumulando.

En la actualidad dichas sales, que constituyen la materia prima, se extraen por bombeo de pozos cuya concentración promedio (concentración Alcali total de 3 a 7%, variable según la localización), queda expresado en la tabla I (4).

TABLA I

Composición y concentración de sales en las aguas del subsuelo del vaso de Texcoco.

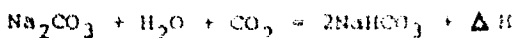
AT (Alcali Total como Na_2CO_3) 6.1000 g/100 ml

Cl (Como NaCl)	6.0000	"
Na_2CO_3	5.4000	"
NaHCO_3	1.4000	"
K (como K ₂ O)	0.5000	"
SiO_2	0.0110	"
Ca (como CaO)	0.0005	"
Mg (como MgO)	0.0010	"

Fe_2O_3	0.0015	"
Al_2O_3	0.0014	"
S (como Na_2SO_4)	0.1150	"
Ti	0.3000	ppm
B	0.1600	"

Estas salmueras se hacen circular a través de diferentes vasos de un evaporador solar, conocidos como "el caracol", donde aumenta la concentración de sales de dichas salmueras; así se obtiene la materia prima en concentraciones que varían de 6 a 11%, según la estación, que se envía a la planta en donde se procesa en la forma siguiente:

Las salmueras provenientes del caracol son enviadas al departamento de evaporación donde la concentración de sales es incrementada hasta un valor conveniente, dependiendo de la relación de las mismas. Posteriormente, se hacen pasar a través de unas torres carbonatadoras, en las que se inyecta CO_2 a contracorriente, efectuándose la siguiente reacción:



De las torres de carbonatación se obtienen dos corrientes; una de gases diluidos y otra de salmuera. Esta última se hace pasar a través de un equipo de filtración donde se separan los cristales de bicarbonato de sodio, los que a continuación pasan a través de unos hornos "Herreshoff", donde el material es calentado.

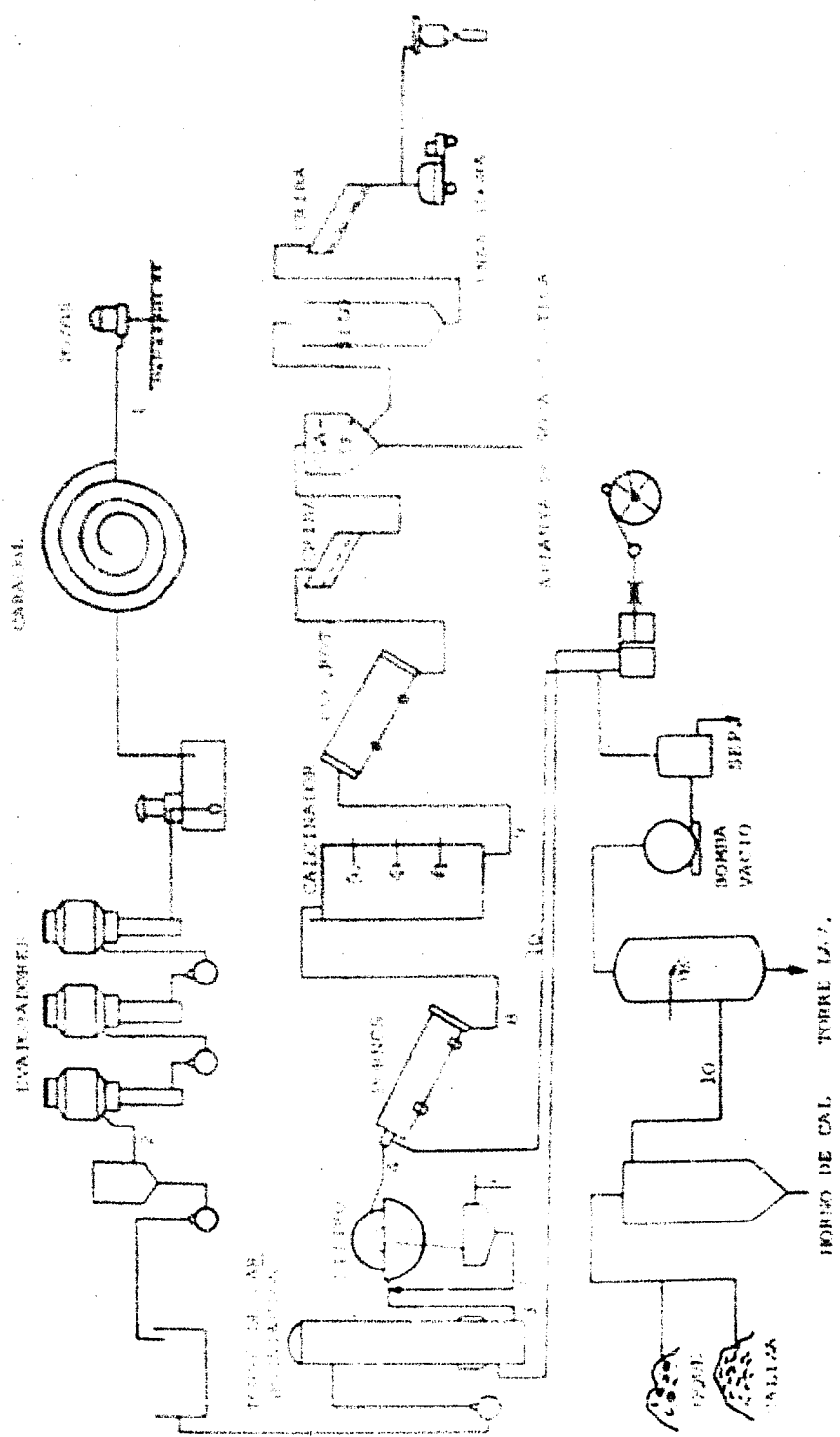
cinado, obteniéndose así el producto final.

Las aguas madres de filtros se envían a unos asentadores con objeto de recuperar el bicarbonato que va en suspensión; de los asentadores las aguas madres saturadas de bicarbonato, son caustificadas con el propósito de evitar que el bicarbonato de sodio que aún queda en las aguas madres, se precipite en las salinas.

En la figura 1 se muestra el diagrama del flujo seguido en el proceso. Los números que aparecen en ella se describen a continuación.

Corrientes de Proceso

- 1.- Salmueras diluidas.
- 2.- Salmueras concentradas.
- 3.- Corriente de magma.
- 4.- Corriente de cristales de bicarbonato.
- 5.- Corriente de aguas madres calientes..
- 6.- Corriente de aguas madres calientes decantadas.
- 7.- Corriente de bicarbonato (recuperación).
- 8.- Corriente de carbonato de sodio.
- 9.- Corriente de carbonato de sodio calcinado.
- 10.- Corriente de CO₂.



3.- DETERMINACION DE LOS FACTORES CONTROLANTES DE LA OPERACION.

Con el objeto de determinar cuáles son las condiciones-de operación de la planta, se procedió a efectuar un balance -de vapor para conocer la cantidad y calidad del vapor disponibile.

También se realizó un balance para determinar la capacidad productiva de la planta, en función de la capacidad instalada de generación de vapor y finalmente, se hizo una recopilación de datos de operación y características de un triple efecto.

a).- Balance de Vapor

En la primera parte se indica la capacidad de generación de las 9 calderas instaladas junto con los consumos en máquinas y algunos aparatos, que no varía con las condiciones de los procesos de fabricación y que pueden considerarse "consumos fijos de vapor". Tomando en cuenta además que el vapor utilizado en máquinas realmente no se consume, sino que es degradado a 4,2 Kg/cm²man., y 92,5% de calidad, se anota el vapor --"producido" en las máquinas de la planta al que se llama "vapor degradado". En la segunda parte se hace referencia a las capacidades de producción factibles con el vapor disponible para procesos, siendo este último la diferencia entre el vapor total producido y los consumos fijos.

BALANCE DE VAPOR

Generación y consumos de vapor vivo y de vapor degradado.

I. Vapor vivo (16 Kg/cm²min)

A. Generación. Capacidad instalada.

	T/D	lb/hr
Calderas 1 a 5	2 400	220 000
Caldera 6 (e.e. máxima)	875	80 000
Caldera 7	1 090	100 000
Caldera 8 (e.e. máxima)	1 680	154 000
Caldera 9	<u>820</u>	<u>75 000</u>
	6 865	629 000

B. Consumos (en máquinas de vapor y eyectores)

Calderas

Calderas 1 a 5	419	38 400
Caldera 6	150	13 750
Caldera 7	321	29 400
Caldera 8	212	19 450
Compresores de aire	<u>158</u>	<u>14 500</u>
	1 260	115 500

Bicarbonato

Nash CL-6001	197	18 100
Nash H-8 (2)	284	26 100
Compresores de CO ₂ (11)	656	60 130

Receptores de salineras	100	9 170
Reactores	<u>44</u>	<u>4 000</u>
	1 281	117 500
Generación total vapor vivo	6 865	629 000
Consumos fijos vapor vivo	2 541	233 000
Vapor vivo para procesos	4 324	396 000

III. Vapor降级 (4.2 kg/cm²sat.)

Proviene de las turbinas y de los compresores de la planta, con calidad de 90,0% y de las flashes de condensados y purgas de calderas. Se consume, principalmente en evaporadores.

A. Generación	T/D	lb/hr
Calderas		
Turbinas calderas 1 a 5	388	35 567
Turbinas caldera 6	139	12 742
Turbinas caldera 7	297	27 225
Turbinas caldera 8	196	17 967
Compresores de aire	<u>146</u>	<u>13 383</u>
	1 166	106 884
Flash purgas calderas de baja	47	4 308
Flash purgas calderas de alta	<u>34</u>	<u>3 109</u>
	1 247	114 292
Bicarbonato		
Nash Cl600L	182	16 683
Nash H-B (2)	263	24 108
Compresores de CO ₂ (11)	607	55 642

Flash condensados hornos y

Calentador agua lavado hornos	<u>136</u>	<u>12 467</u>
	1 188	108 900

Generación total vapor degradado 2 435	223 192
--	---------

B. Consumos Vapor Degrado

Tratamiento de agua No. 1	121	11 100
Tratamiento de agua No. 2	62	5 700
Desaireador caldera 6	125	11 500
Desaireador caldera 8	212	19 400
Calentador agua lavado hornos	180	16 500
Cautificación agua madre	<u>79</u>	<u>7 200</u>
	779	71 400

Generación total vapor degradado 2 435	223 192
--	---------

Consumo fijos vapor degradado	779	71 400
-------------------------------	-----	--------

Vapor deg. p/procesos	1 656	151 792
-----------------------	-------	---------

Vapor total disponible para procesos		
--------------------------------------	--	--

Vapor vivo	4 324	396 000
------------	-------	---------

Vapor degradado	<u>1 656</u>	<u>151 800</u>
	5 980	547 800

De lo anterior podemos deducir las siguientes conclusiones:

- La capacidad instalada de generación de vapor vivo es de 6865 T/H (629 000 lb/hr), operando la planta

1. termoeléctrica a máxima generación.
2. Las máquinas de la planta utilizan 2541 T/D de vapor vivo, de las cuales condensan 174. El vapor degradado asciende, entonces a 1367 T/D.
3. El vapor disponible para procesos es de 5980 T/D, correspondiente a 374 al vapor vivo y 1656 al vapor degradado.
4. El consumo unitario de vapor en la producción de soda caustica es de 6.80 ton/ton., distribución en la forma siguiente:

	ton vapor/Ton soda
Disolvedores	0.505
Hidratadores	0.427
Cauzificadores	0.253
Total de Cauzificación	1.185
Evaporadores (10 a 40%)	5.615
Total Soda Caustica	6.80

5. El consumo unitario en la fabricación de soda ash viene con las concentraciones de las salmueras iniciales y con el aprovechamiento de álcali en la planta (fig. 2).

Salmueras Consumo unitario de vapor en soda ash

Iniciales Aprovechamiento de Alcali en la Planta

SAT	66%	69%	72%	75%
6.0	9.99	9.62	9.28	8.96
6.5	9.04	8.70	8.40	8.12
7.0	8.29	8.00	7.72	7.47
7.5	7.60	7.33	7.08	6.86
8.0	6.99	6.75	6.51	6.32

6. Las producciones de soda ash que podrían obtenerse porza las condiciones anteriores, manteniendo en 100% T/D la producción de soda caustica son (fig. 3):

Salmueras Producción de soda ash

Iniciales Aprovechamiento de Alcali en la planta

SAT	66%	69%	72%	75%
6.0	469	487	503	523
6.5	518	539	558	577
7.0	565	586	607	628
7.5	614	640	662	683
8.0	670	695	718	742

Valores en T/C.

Un aumento de 3% en el aprovechamiento de Alcali representa 26 ton. adicionales de soda ash.

7. Los déficit de vapor y la evaporación de salmuera para producciones constantes de 400 T/C de soda ash

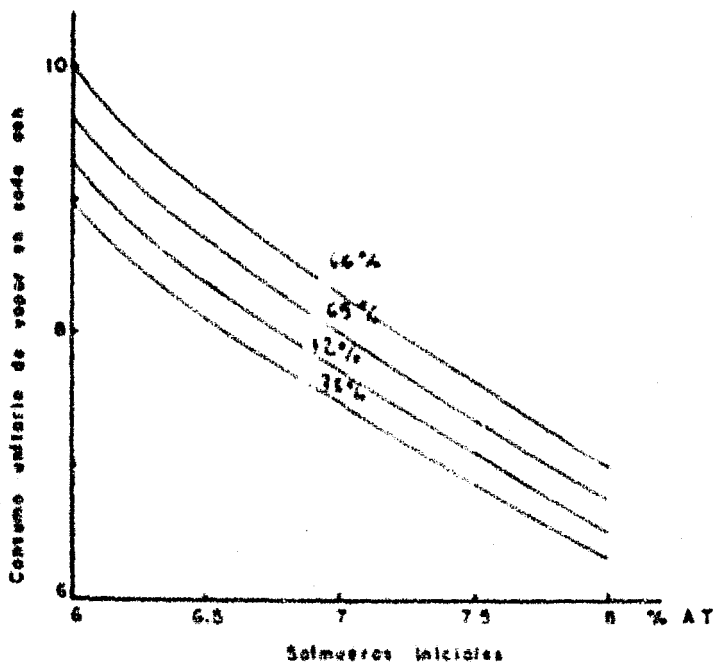


Fig. 2

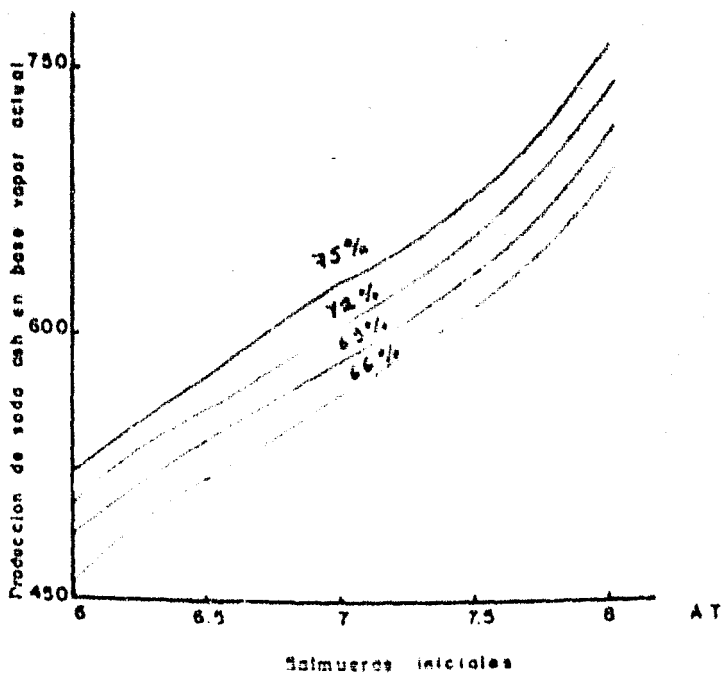


Fig. 3

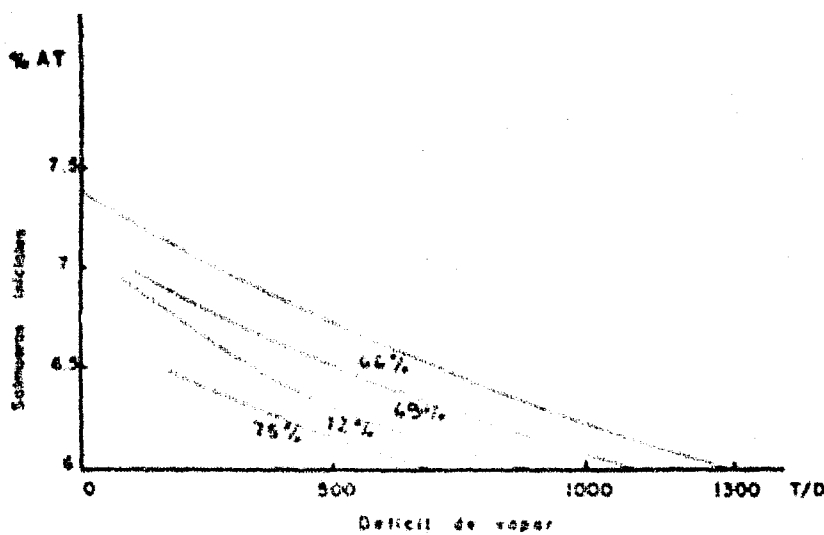


Fig. 4

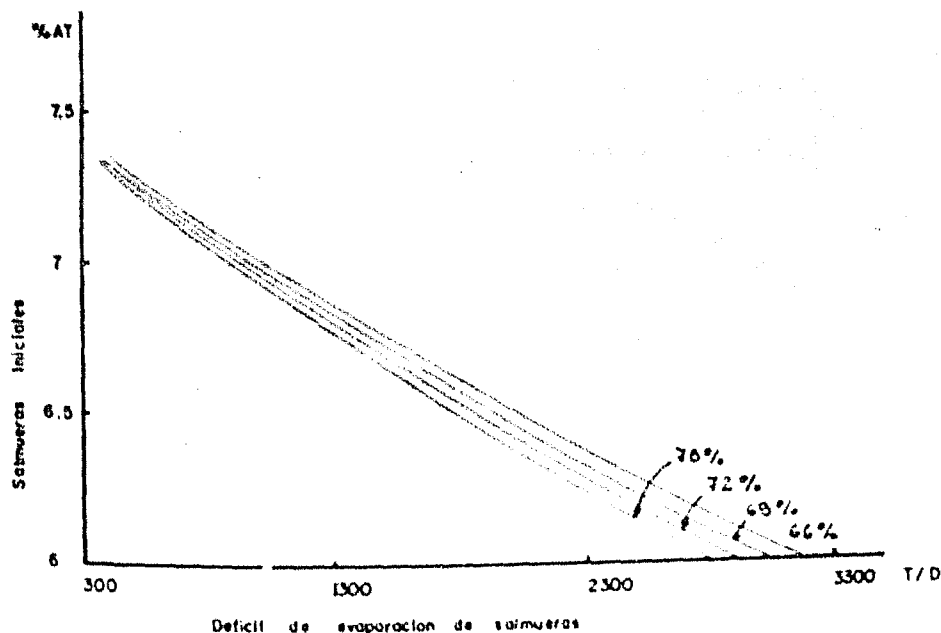


Fig. 5

y 190 T/D de soda cáustica, a distintas concentraciones de salmueras y agravamiento de Alcalí, son -- (figs. 4 y 5).

Salmueras Difícil de vapor

Iniciales Agravamiento de Alcalí

%At	66%	69%	72%	75%
6.0	1 306	1 084	690	688
6.5	736	932	352	184
7.0	206	113	56	---
7.38	0	---	---	---

Valores en T/D.

Salmueras Difícil de evaporación de salmueras

Iniciales Agravamiento de Alcalí

	66%	69%	72%	75%
6.0	3 146	3 009	2 884	2 786
6.5	2 006	1 919	1 839	1 765
7.0	1 034	989	948	910
7.38	412	407	387	371

Valores en T/D de agua evaporada.

b).-Balance de materia en función de la capacidad instalada de generación de vapor.

Establecido el vapor disponible para proceso se determinaron las producciones de soda ash y de soda cáustica factibles, utilizando los parámetros y consideraciones siguientes:

1. En la elaboración de soda ash se consideraron los consumos por evaporación de las salmueras y por secado del bicarbonato. En zona cálida, por caustificación de soda ash y por concentración de la zona diluida.
2. El consumo de vapor en los evaporadores de salmueras (W_e), depende de la economía departamental (E_c) y del agua total evaporada (S). Estos dos parámetros son función, a su vez, de la concentración inicial de las salmueras (C_0), si se mantiene constante la concentración de descarga de los evaporadores (C). El agua evaporada dependerá, además, del aprovechamiento de Alcali en la planta (η), fijado por las condiciones del proceso mismo.

Con base en lo anterior, se establecen las siguientes ecuaciones:

$$W_e = \frac{E_c}{E_c} + E = \frac{S}{N} \left(\frac{1}{C_0} - \frac{1}{C_1} \right) \quad 1$$

en donde S representa la capacidad de producción de soda ash.

Fijando valores para C_0 variables entre 6.0 y 11.0% p/v de Alcali total; C_1 igual a 17.2 p/v de Alcali total, que corresponde en realidad a la alimentación de las torres de carbonatación y N igual a 66%, el agua evaporada y el consumo de vapor en los evaporadores, para producir 1 tonelada de soda ash será;

Aqua evaporada y consumo de vapor en los evaporadores de salmueras para producir 1 Ton de soda ash.

Ce	T	Sc	Weh
%At	Ton	T/T	Ton
6.0	16.41	1.91	8.59
6.5	14.51	1.90	7.64
7.0	12.89	1.87	6.89
7.5	11.47	1.85	6.20
8.0	10.24	1.83	5.59
8.5	9.19	1.80	5.08
9.0	8.16	1.77	4.62
9.5	7.11	1.74	4.20
10.0	6.53	1.71	3.82
11.0	5.19	1.63	3.18

3. El consumo de vapor para secado del bicarbonato (Weh) se puede fijar en 1.4 ton de vapor por tonelada de soda ash, de acuerdo a mediciones directas de la planta. En estas condiciones el consumo total de vapor (Weh) para producir 1 ton de soda ash será:

Consumo total de vapor para producir

1 Ton de soda ash

Ce	Weh
6.0	9.99

6.5	9.04
7.0	8.29
7.5	7.60
8.0	6.49
8.5	6.40
9.0	6.02
9.5	5.60
10.0	5.22
11.0	4.58

4. La caustificación de soda ash consumo vapor en disol-
vedores, hidratadores y caustificadores; de acuerdo-
a estudios anteriores, confirmados en esta ocasión,-
dichos consumos por tonelada de soda producida, son:

Disolvedores	0.505 T.
Hidratadores	0.427 T.
Caustificadores	<u>0.253 T.</u>
Total de Caustificación	1.185 T.

5. El consumo por tonelada de caustificador, de las solu-
ciones de soda, desde 10% a 40% p/p, es de 5.615 to-
neladas de vapor por tonelada de soda producida, con-
siderando una economía departamental de 1.43.

El consumo total de vapor para producir 1 Ton de soda-
caustica de 40% de concentración sera, entonces, de 6.80 tone-
ladas, incluyendo losyectores.

Con base en los consumos unitarios anteriores se calcularon las producciones de soda ash para distintas concentraciones iniciales de salmueras, fijando producciones de soda cáustica variables entre 100 y 0 T.O.

Los resultados, en T.O., se resumen en los cuadros siguientes (fig. 6).

Salmueras de 6,0% de Alcalí total:

Sosa Cáustica Ash	Soda Evaporadores Salmueras	Vapor para secado	
		Agua Evaporada	Vapor
100	469	7 700	4 031
175	479	7 868	4 119
150	496	8 148	4 269
125	514	8 427	4 411
100	530	1 706	4 557
50	565	9 265	4 850
0	599	9 821	5 142

Salmueras de 6,5% de Alcalí total:

Sosa Cáustica Ash	Soda Ash	Evaporadores Salmueras	Vapor para secado	
			Agua Evaporada	Vapor
100	518	7 525	3 962	792
175	530	7 588	4 048	809
150	549	7 961	4 192	838
125	567	8 234	4 336	866

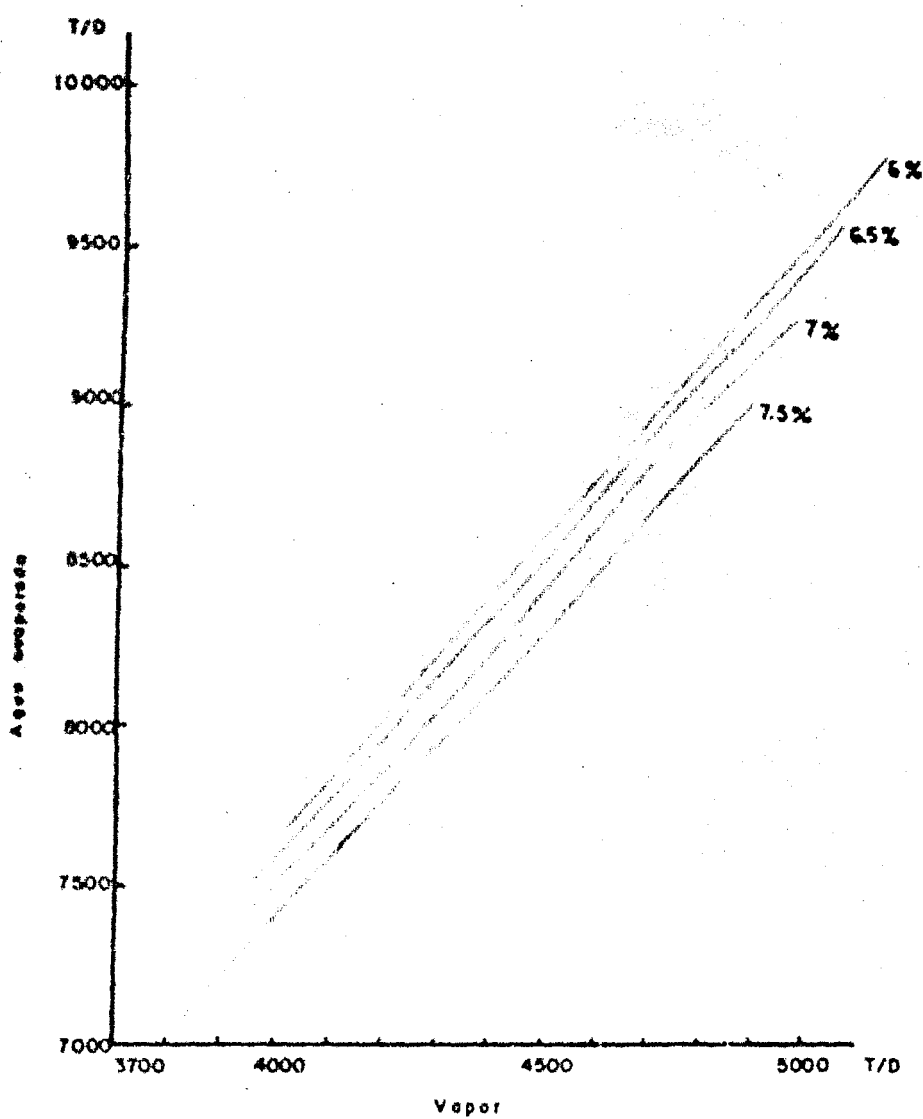


Fig. 6 Evaporadores Salmueros

100	596	8 507	4 479	895
50	624	9 053	4 766	952
0	662	9 598	5 054	1 010

Salmueras de 7.0% de Alcali total:

Sosa Cáustica	Soda Ash	Evaporadores salmueras		Vapor para secado secado
		Aqua Evaporada	Vapor	
190	565	7 209	3 896	792
175	578	7 448	3 981	809
150	598	7 712	4 122	838
125	619	7 977	4 264	866
100	639	8 240	4 405	895
50	680	8 770	4 668	952
0	721	9 298	4 970	1 010

Salmueras de 7.5% de alcali total:

Sosa Cáustica	Soda Ash	Evaporadores salmueras		Vapor para Secado
		Aqua Evaporada	Vapor	
190	610	7 106	3 824	864
175	630	7 229	3 908	882
150	653	7 486	4 046	914
125	675	7 742	4 185	945
100	697	7 999	4 324	976
50	742	8 512	4 601	1 039
0	787	9 521	4 878	1 102

C).- Condiciones de operación existentes.

En la actualidad, en Ross Texcoco existen tres evaporadores de múltiple efecto; dos de triple y uno de cuádruple.

Los primeros efectos de estos evaporadores reciben vapor de calentamiento a una presión aproximada de 62 psia, el cual es obtenido al expandir el vapor vivo ($16 \text{ Kg/cm}^2\text{man}$) en válvulas, antes de ser consumido en los evaporadores. En la figura que a continuación se presenta se indican las condiciones de operación reales de uno de los triples efectos para un día; los datos fueron tomados directamente en la planta con los instrumentos allí existentes.

Todos los evaporadores tienen características similares en cuanto a la presión de operación en la calandria y también tienen el mismo tipo y longitud de tubo, aunque el área difiere, en cada múltiple; en cada cuerpo de los triples, el área es de 3.700 ft^2 , mientras que en cada cuerpo del cuádruple es de 7.000 ft^2 . Las características de los tubos son: 28 ft de longitud, 2 in de diámetro exterior y 1.2 D.G.

Las economías y coeficientes que a continuación se dan fueron obtenidos de los datos de la figura 7;

19-7

NAME	AGE	SEX	RACE	HAIR	EYES	STAMPS
WILLIAM H. COOPER	55	M	White	Dark	Dark	1
JOHN COOPER	10	M	White	Dark	Dark	1
JAMES COOPER	5	M	White	Dark	Dark	1
ELIZABETH COOPER	55	F	White	Dark	Dark	1
WILLIAM H. COOPER	55	M	White	Dark	Dark	1
JOHN COOPER	10	M	White	Dark	Dark	1
JAMES COOPER	5	M	White	Dark	Dark	1
ELIZABETH COOPER	55	F	White	Dark	Dark	1

EVAPORADOR TRIPLE No. 2

	Área ft ²	N Tubos	ΔT °F	U BTU/hr ft ² °F
Efecto I	5.700	450	36	369.5
Efecto II	5.700	450	34	310.8
Efecto III	5.700	450	59	146.5

Evaporación ΔT

	T/D	F	Economia	Economia Total
Efecto I	600	61	0.66	
Efecto II	450	62	0.55	<u>1730 = 1.86</u> 930
Efecto III	600	-31	1.10	

CAPACIDAD DE EVAPORACION TOTAL

Cuádruple	2200 T/D
triple 1	1900 T/D
triple 2	2100 T/D

4.- PLANTEAMIENTO DE LAS DIVERSAS ALTERNATIVAS.

Del capítulo anterior se tiene la siguiente información:

Vapor de calentamiento disponible.

Vapor disponible para procesos

Vapor vivo 4 324 T/D

Vapor degradado 1 636 T/D

Consumo de vapor en hornos rotatorios para 650 T/D de --

soda ash wh = 650 x 1.4 910 T/D

Vapor vivo disponible para

evaporaciones 3414 T/D

Vapor vivo para soda clásti

ca 414 T/D

Vapor vivo para concentrar

salmueras 3 000 T/D

Vapor degradado para soda

clástica 878 T/D

Vapor degradado para evapo-

rar salmueras 778 T/D

Si proyecto se estableció para manejar las torres de -- carbonatación 950 T/D de Alcali al 17.5% de concentración en -- volumen, suficientes para producir de 600 a 675 T/D de soda -- ash con rendimientos de Alcali variables entre 63 y 71%. Los -- evaporadores en conjunto concentrarían 900 T/D hasta 19%, nece

sitando 80 T/D a bajas concentraciones para diluir las salmueras a 17,5% y allende para enfriarlas a la temperatura de alimentación aceptada en las torres de carbonatación.

Para poder cumplir con el proyecto se pensó en dos posibilidades: una que consiste en la modificación del equipo actual añadiendo un efecto más a cada múltiple existente, (a estos postevaporadores se les llamará efecto cero); la otra posibilidad es la de construir un nuevo triple efecto.

a) Efecto cero.

Esta opción consiste en utilizar el vapor de alta presión disponible, reduciéndolo en tres efectos cero de alta presión, obteniendo un aumento de capacidad de evaporación de --- 3000 T/D sin aumentar el consumo de vapor.

Cada postevaporador de salmueras condensaría 1 000 T/D-vapor vivo.

El vapor generado en estos aparatos serviría para pre-vaporar las salmueras en los múltiples efectos actuales; junto con las 750 T/D de vapor de igual presión que proviene de las turbinas de la planta y que no es consumido en la producción de los T/D de cosa caustica.

A cada múltiple efecto actual llegaría al vapor formado en estos nuevos cuerpos a 60 psig (presión en el doce del efecto cero, 62 psig), junto con 250 T/D de vapor degradado en má-

quinas.

Los gastos de vapor vivo y Alcali se distribuyeron en partes iguales para tres evaporadores, resultado al que se llegó después de varias intentos preliminares de obtener longitudes de tubos iguales a los instalados en los múltiples efectos actuales.

Condiciones de operación de cada uno de los nuevos evaporadores:

Capacidad en Alcali	300 T/D
Capacidad de condensación de vapor	1.000 T/D
Presión en la calandria; su valor comprendible entre 1.4-1.5 atmósferas	
Presión en el fondo	4.35 Kg/cm ² max

El cálculo del evaporador se realizó utilizando los métodos convencionales, previamente comprobados para condiciones reales de operación de los múltiples efectos.

El planteamiento básico en el cálculo consistió en emplear tubos de marco y tierra iguales a los instalados en los demás evaporadores, de 28 ft de longitud, 1.00 in de diámetro-exterior y calibre 14 B.S.C. Una de las primeras condiciones que intervinieron para esa longitud, es la de alimentar las salmeras a una temperatura no menor de 260°F (127°C), haciéndose necesario la instalación de precalentadores para elevar la temperatura de las salmeras de 240°F en la descarga de

los primeros efectos actuales, a la mínima necesaria para los nuevos evaporadores.

Un requisito más que se fijó para el cálculo, fue el de determinar las condiciones más favorables para ceder el calor sensible a las salmueras, estudiándose dos tipos de calentamiento hasta la temperatura de ebullición: en primero en el que el calentamiento se efectúa utilizando el total de los tubos del evaporador, tal como lo que sucede en los evaporadores actuales y un segundo, en el que solo se utiliza un número reducido del total de los tubos, aumentando la velocidad del flujo y como consecuencia, el coeficiente de transferencia de calor.

b) Nuevo triple efecto.

Consistiría en utilizar un nuevo triple efecto similar a los que se tienen, obteniéndose un aumento de capacidad de evaporación de 1,000 T/D, consumiendo 1 000 T/D más de vapor, requiriendo una ampliación de servicios con una nueva caldera de 100 000 lb y un tratamiento de agua.

3.- SELECCION DE AL ALTERNATIVA MAS VIABLE Y CALCULO DEL EVAPORADOR CONSIDERANDO LA VARIACION DE LA PRESION DE ALIMENTACION DEL VAPOR.

Para poder efectuar la selección se establecieron una serie de parámetros y con base en ellos se efectuó el cálculo.

Cálculo de la economía de los efectos cercas de salmueras, sin precalentadores (suponiendo un gasto en sólidos de 300 T/D de Alcalí y una concentración de 10% en la alimentación):

Calor necesario $\rightarrow q/\theta$

$$q/\theta = 300/0.10 \times \frac{2730}{2} \times 0.9 (316 - 240) + E_1 (911.25) \quad 2$$

$$q/\theta = 1000 \times 91.66 \times 658.6 + 78.7 \times 10^6 \text{ BTU/hr}$$

$$78.7 \times 10^6 = 17.1 \times 10^6 + E_1 \times 911.25$$

$$E_1 = \frac{61.6 \times 10^6}{911.25} = 67 \text{ kcal/lb/hr}$$

$$\text{Economía} = 67 \times 0.1670 = 0.1138$$

Si se precalienta la salmuera a 260°F,

$$E_1 = \frac{78.7 \times 10^6 - 12.7 \times 10^6}{911.25} = 72.400 \text{ lb/hr}$$

$$\text{Economía} = 72.400/0.1670 = 0.79$$

Para efectos del cálculo se consideró una economía de 0.77.

Sólidos a manejar: se fijaron 950 T/D de álcali total, suficientes para producir 600 T/D de soda ash con rendimientos de álcali en la planta de 63% o 67% T/D si los rendimientos suben a 71%.

Concentración final en los evaporadores	19.0% AT Vol.
Concentración final en los evaporadores	15.2%AT Peso
Concentración alimentación torres	17.5%AT Vol.
Concentración alimentación torres	14.0%AT Peso

Salinera adicional al tanque mezclador

$$0.14 = \frac{970}{50/0.152 + 50/0.161} \quad 1$$

Se	Se	6.50 Se	16.4 Se	Σ	$\Sigma/950$
910	40	5.987.0	6.36	6.943.9	0.14299
920	50	5.922.0	8.20	6.942.0	0.14090
890	60	5.836.2	9.84	6.836.2	0.13888

Se considera que al mezclador se adicionan 30 t/d de salinas diluidas y por lo tanto a los evaporadores solamente 900. En cada evaporador se manejan 100 t/d de Airealt total.

Gasto de descarga de un evaporador, incluyendo el efecto toro y el flash de salineras:

$$M_f = 300/0.152 = 1973.7 \text{ t/d} = 180.291 \text{ lb/hr}$$

Gasto de descarga del nuevo evaporador:

$$M_2 = M_f \times \frac{H_0 - H_f}{H_0 - H_1} \quad 4$$

$$H_0 = 905.6 + 275.8 + 0.47 \times 12 = 1.187 \text{ BTU/lb}$$

$$H_f = 0.8 (198-12) = 132.8 \text{ BTU/lb}$$

$$H_1 = 0.8 (316 - 12) = 228.8 \text{ BTU/lb}$$

$$M_2 = 180.291 \times \frac{1187 - 132.8}{1187 - 228.8} = 180.291 \times 1.0998 \frac{\text{lb}}{\text{hr}}$$

$$N_2 = 198\ 984 \text{ lb/hr} = 2\ 171 \text{ T/D}$$

$$E_1 = 18\ 063 \text{ lb/hr} = 197 \text{ T/D}$$

Concentración de descarga del efecto cero:

$$C_2 = 300/2\ 171 = 13.82 \% \text{ peso}$$

5

Evaporación en el efecto cero:

$$E_2 = 1000 \times 0.13 = 310 \text{ T/D} = 70\ 583 \text{ lb/hr}$$

6

Gasto de descarga en los evaporadores actuales:

$$M_2 = E_2 = 198\ 984 + 70\ 583 = 2941 \text{ T/D} = 679\ 567 \text{ lb/hr}$$

7

Concentración de descarga en los evaporadores actuales:

$$C_1 = 300/2941 = 10.20 \% \text{ peso}$$

8

Evaporación en los evaporadores actuales:

Cuádruple con 1000 T/D de vapor	1 900 T/D agua
---------------------------------	----------------

Triple 1 con 1100 T/D de vapor	2 000 T/D agua
--------------------------------	----------------

Triple 2 con 1200 T/D de vapor	2 200 T/D agua
--------------------------------	----------------

Economías:

Cuádruple	1.900
-----------	-------

Triple 1	1.818
----------	-------

Triple 2	1.833
----------	-------

Vapor disponible para cada evaporador actual:

$$E_1 + W \text{ máquinas} = 770 + 250 = 1\ 020 \text{ T/D}$$

$$\text{Vapor a terceros efectos} = 197 \text{ T/D}$$

$$E \text{ IV futura} = 1\ 900 \times 1.15 = 2\ 200 \text{ T/D}$$

$$E \text{ III 1 futura} = 2\ 000 \times 0.95 = 1\ 900 \text{ T/D}$$

$$E \text{ III 2 futura} = 2\ 200 \times 0.91 = 2\ 000 \text{ T/D}$$

Aqua evaporada total:

3 nuevos cuerpos:	$3 \times 770 = 2\ 310 \text{ T/D}$
3 flash nuevos cuerpos:	$3 \times 197 = 591 \text{ T/D}$
1 cuádruple	$\approx 2\ 200 \text{ T/D}$
1 triple	$\approx 1\ 900 \text{ T/D}$
1 triple	$\approx 2\ 000 \text{ T/D}$
Total	9 001 T/D

Gasto de alimentación a los evaporadores actuales:

$$\text{Mo} = 2\ 941 \times 3 = 8\ 823$$

$$2\ 200$$

$$1\ 900$$

$$\frac{2\ 000}{14\ 923}$$

Concentración inicial de las salmueras (caracol)

$$\text{Co} = 900/14\ 923 = 6.02\% \text{ AT peso}$$

$$= 6.20\% \text{ AT vol.}$$

Condiciones de operación de los efectos cero

S sólidos como AT	$300 \text{ T/D} = 27\ 500 \text{ lb/hr}$
Co concentración alimentación	10.20 %
C ₁ concentración descarga	13.82 %
E ₁ agua evaporada	$770 \text{ T/D} = 70\ 583 \text{ lb/hr}$
M ₀ gasto de alimentación	$2\ 941 \text{ T/D} = 269\ 608 \text{ lb/hr}$
M ₁ gasto de descarga	$2\ 171 \text{ T/D} = 198\ 984 \text{ lb/hr}$
T _e temperatura de descarga	$159^{\circ}\text{C} = 318^{\circ}\text{F}$

\dot{m}_f gasto descarga flash	1974 T/D = 180 950 lb/lb
E_f flash de salmuera	197 T/D = 18 063 lb/hr
T_f temperatura de descarga flash	99°C = 210°F
C_f concentración descarga flash	15.20 % = 19.00 % vol.

Como primer paso se realizó el cálculo de la temperatura de alimentación obteniéndose la tabla II:

$$W_B \lambda_B = W_B C_{P_0} (T_e - T_0) + E_f (\lambda_f + 0.47 \text{ APE}) \quad 9$$

$$W_B \lambda_B = 91.667 \times 0.986,6 = 28.7 \times 10^6 \text{ BTU/hr}$$

$$E_f (\lambda_f + 0.47 \text{ APE}) = 70.583 (905.6 + 0.47 \times 10), = 64.32 \times 10^6$$

$$W_B C_{P_0} (T_e - T_0) = 14.38 \times 10^6$$

$$T_e = \frac{W_B \lambda_B - E_f (\lambda_f + 0.47 \text{ APE})}{W_B C_{P_0}} + T_0 \quad 10$$

T_0 = temperatura mínima de alimentación

TABLA II

Temperatura de alimentación

P país	P país	T _B °F	λ_B BTU/lb	T _e °F
225	236.3	396	830.0	261.2
200	211.3	387	838.0	257.8
175	186.3	376	848.5	253.3
150	161.3	364	858.6	249
125	136.3	351	870.4	244
100	111.3	336	882.4	236.8
75	86.3	317	897.1	232.7

Se puede ver que en cada caso la salmuera va a ser alimentada a una temperatura que varía entre 233 y 261°F. La salmuera se descargará de los efectos primarios actuales con una temperatura de aproximadamente 240°F. El condensado disponible de los nuevos evaporadores será de 91.667 lb/hr con una temperatura que varía de 196 a 317°F (según la presión).

El procedimiento que se llevó a cabo consistió en calcular primero un coeficiente de transferencia total para un número N de tubos y después aplicarlo para las diferentes presiones en la calandria, y así obtener el número de tubos conveniente en cada caso. Las condiciones de las corrientes fueron consideradas promedio y en algunos casos se emplearon métodos-approximados por carecerse de información precisa.

En la planta se obtuvieron datos siguientes (fig. 8):

TABLA III

Aumento en el punto de ebullición

Concentración en peso	Gravedad específica	APF
6.27	1.100	
6.90	1.116	4°F
7.32	1.128	6°F
9.18	1.158	8°F
13.40	1.236	10°F

Durante el cálculo se utilizarán siempre los siguientes valores (todos ellos son valores promedio), así como algunas características de los materiales:

$$\rho_{\text{p}} = 0.8 \text{ lb/ft}^3 \text{ a } 7^{\circ}\text{F}$$

$$\mu_1 = 0.06 \text{ lb/ft hr}$$

$$k = 0.16 \text{ btu/hr ft}^2 \text{ a } 7^{\circ}\text{F}$$

$$\nu_0 = 5.020 \text{ ft}^3/\text{lb}$$

$$\nu_1 = 0.01459 \text{ ft}^3/\text{lb}$$

$$\epsilon = 61.31 \text{ lb/ft}^3$$

$$\mu = 0.366 \text{ lb/ft hr}$$

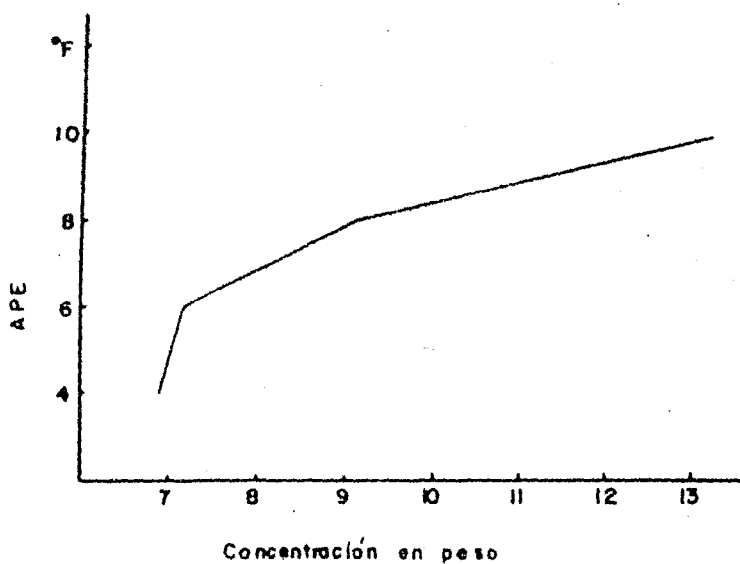


Fig. 8

A continuación se indicará el método de cálculo (7) que se sigue para obtener los coeficientes de transmisión.

Figúrenos N desde 300 hasta 700 tubos, variando de 50 en 50.

Coeficientes de película en el lado de las salmueras, zona de calentamiento (1).

$$h_f = 0.0270 (\mu_e)^{0.8} (Pr)^{0.4} \text{ k/Di} \quad 11$$

$$G1 = \frac{K_1}{\lambda} = \frac{269.608}{\lambda} \quad 12$$

$$Re = \frac{D_1 G_1}{\mu} = \frac{0.1443}{0.006} \quad G1 = 0.1678 G1 \quad 13$$

$$Pr = \frac{Sp \cdot \lambda}{\kappa} = \frac{0.8 \times 0.06}{0.18} = 1.81 \quad 14$$

$$k/Di = 0.38/0.443 = 2.633$$

Coeficientes de película en el lado de las salmueras, zona de ebullición (3).

$$h_o = 0.0225 (Rem)^{0.8} (Pr)^{0.4} \text{ k/Di} \quad 15$$

$$Rem = Rel \times \frac{Vm}{Vi} \quad 16$$

$$Vg = 5.928 \text{ ft}^3/\text{lb}$$

$$V_e = 5.928 \times \frac{770}{2941} + 0.01459 \times \left(1 - \frac{770}{2941}\right)$$

$$= 1.5619 + 0.0108 = 1.5627$$

$$Vm = \frac{1.5627 - 0.01459}{\ln \frac{1.5627}{0.01459}} \times \frac{1.5481}{107.1} = \frac{1.5481}{4.652} = 0.3328 \quad 17$$

$$Rem = \frac{0.3328}{0.01459} \text{ Rel} = 22.8 \text{ Rel}$$

Coefficiente de película en el lado del vapor (2).

$$h_g = 0.0077 \left(\frac{4\Gamma}{\mu} \right)^{0.4} \left(\frac{\epsilon_g}{\mu} \right)^{1/3} \times \quad \underline{18}$$

$$W_s/N = 91.667 \text{ /N}$$

$$+ \frac{W_s/N}{\pi R_o} = \frac{1}{3.14 \times 0.1667} \quad (W_s/N) = 1.91 \quad (W_s/N)$$

$$\frac{4\Gamma}{\mu} = \frac{4\Gamma}{0.366} = \quad \underline{10.93 \Gamma} \quad \underline{19}$$

$$\frac{\epsilon_g^2}{\mu^2} = \frac{(0.132)^2 \times 4.18 \times 4.18 \times 10^8}{(0.366)^2} = \quad 12.511 \times 10^{12} \quad \underline{20}$$

$$\left(\frac{\epsilon_g^2}{\mu^2} \right)^{1/3} = \sqrt{12.5} \times \sqrt{10^{12}} = \quad 23.210 \quad \underline{21}$$

cálculo del coeficiente global en la zona de calentamiento (7).

$$\frac{1}{h_i} = \frac{kw}{kw} + \frac{1}{hm} + \frac{Rd}{R_o} + Rd = \frac{1}{U_o} \quad \underline{22}$$

$$hm' = 0.75 hm \quad \underline{23}$$

cálculo del coeficiente global en la zona de ebullición.

$$\frac{1}{U_o} = \frac{kw}{kw} + \frac{1}{hm} + Rd + \frac{1}{he} \quad \underline{24}$$

cálculo de la temperatura media logarítmica considerando la variación en la temperatura de alimentación (6').

Admitiendo $T_m = 325^\circ F$

T_0 = Variable

$$\Delta T_C = \frac{(T_s - T_0) - (T_s - T_{max})}{\ln \frac{T_s - T_0}{T_s - T_m}} \quad \underline{25}$$

$$\Delta T_c = \frac{(T_a - T_b) - (T_a - T_m)}{\ln \frac{T_a - T_b}{T_a - T_m}}$$

26

Cálculo de la temperatura media logarítmica en la zona de calentamiento considerando la variación en la temperatura de alimentación, variando T_0 desde 240 hasta 280°F.

TABLA IV

T_0	$T_a - T_0$	$T_a - T_{max}$	$(T_a - T_0) - (T_a - T_{max})$	$\log \frac{T_a - T_0}{T_a - T_m}$	ΔT_c
240	124	39	85	0.5023	73.6
250	114	39	75	0.4658	70.0
260	104	39	65	0.4259	66.4
270	94	39	55	0.3820	62.6
280	84	39	45	0.3332	58.8

Cálculo de la temperatura media logarítmica en la zona de ebullición.

TABLA V

T_p	$(T_a - T_0) - (T_a - T_m)$	$T_a - T_0 / T_a - T_{max}$	$\log T_a - T_0 / T_a - T_{max}$	ΔT_c
225	19	1.2676	0.1028	82.35
200	19	1.3064	0.1159	71.39
175	19	1.3725	0.1377	59.99
150	19	1.4871	0.1724	47.91
125	19	1.7307	0.2382	34.68
100	19	2.7272	0.4357	18.95
75	19	-1.3750	-----	-----

Cálculo de la longitud de ebullición:

$$L_{eb} = \frac{10/100}{a \times U_e \times \Delta T_e}$$

$a = 10\ 500 \text{ lb/hr}$

$$\lambda_e = 913.25 \text{ BTU/lb}$$

Para poder efectuar el cálculo de la longitud de calentamiento es necesario fijar la temperatura de alimentación; como no se conoce, los cálculos se hicieron considerando que T_0 varía de 240 a 260°F.

Cálculo de la longitud de calentamiento:

$$L_c = \frac{(M_e \times \rho_p \times U_e \times T_0 - T_{al})}{a \times U_e \times \Delta T_c} \quad M_e = 269\ 608 \text{ lb/hr}$$

Cálculo del área de calentamiento de los nuevos evaporadores, considerando la variación en la temperatura de alimentación. Se aplicó la ecuación $Q = U_T A \Delta T$.

Cálculo del coeficiente total de transferencia, tomando en cuenta la variación en la temperatura de alimentación y considerando solamente los casos en que la longitud total sea igual a 28 ft:

$$U_T = \frac{U_e \times L_c + U_{ce} \times L_{ce}}{L_c + L_{ce}}$$

Cálculo de ΔT :

$$\Delta T \text{ efectiva} = 364 - (360 + 10) = 48^\circ\text{F}$$

Área de un tubo de 2 in de diámetro externo OD, 10 BWG, = 28 ft de longitud.

$$A = 28 \times 0.4534 = 12.7 \text{ ft}^2$$

número de tubos del evaporador. Ni

$$N = A/12.7 \text{ ft}^2$$

A continuación se presentan una serie de tablas y gráficos que se elaboraron siguiendo el procedimiento anterior:

TABLA VI
Características de los tubos

Nº	Área transversal ft ²	Área de transmisión tg tal para 78 ft de lon- gitud, ft ²
300	4.72	3810
350	5.74	4445
400	6.56	5080
450	7.18	5700
500	8.20	6350
550	9.02	7000
600	9.84	7620
650	10.66	8255
700	11.48	8890

TABLA VII

Coeficiente de película en el lado de salmueras,
zona de calentamiento.

μ	G_1	Re	Pr	
300	54798.17	9189.58	1.8105	
350	46970.01	7876.87	"	
400	41098.79	6872.76	"	
450	36537.25	6126.46	"	
500	32879.02	5513.81	"	
550	29886.67	5012.56	"	
600	27339.20	4594.84	"	
650	25241.55	4241.39	"	
700	23485.02	3938.44	"	
μ	k/D_1	$(Re)^{0.6}$	$(Pr)^{0.4}$	
300	2.6334	1481.0	1.268	133.44
350	"	1308.0	"	117.85
400	"	1176.0	"	105.95
450	"	1071.0	"	96.50
500	"	984.2	"	88.68
550	"	912.0	"	87.17
600	"	850.5	"	76.63
650	"	798.0	"	71.90
700	"	752.0	"	67.76

TABLA VIII

Coefficiente de película en el lado de salmuera.
zona de ebullición

π	Res	log Res	0.8 log Res
300	2086.6	5.3194	4.2555
350	1789.78	5.2524	4.2019
400	1544.46	5.1945	4.1556
450	1314.02	5.1413	4.1146
500	1251.68	5.0976	4.0701
550	1137.95	5.0561	4.0449
600	1043.07	5.0182	4.0196
650	962.71	4.9835	3.9866
700	893.93	4.9513	3.9610
π	$(Res)^{0.8}$	$(Pr)^{0.4}$	K/D
300	18010	1.268	2.633
350	15910	"	"
400	14310	"	"
450	13020	"	"
500	11970	"	"
550	11070	"	"
600	10340	"	"
650	9700	"	"
700	9142	"	"
he			
300	1382.81		
350	1227.34		
400	1098.72		
450	999.68		
500	919.06		
550	850.00		
600	793.90		
650	744.77		
700	702.00		

TABLA IX

Coeficiente de película del lado del vapor

π	π_g/π	Γ	$4\Gamma/\mu$	$\log(4\Gamma/\mu)$
300	305.556	583.430	6173.07	3.8043
350	261.906	500.080	5465.90	3.7377
400	229.167	417.570	4782.68	3.6796
450	201.700	338.940	4251.19	3.6285
500	182.334	349.984	3925.32	3.5827
550	166.667	318.167	3477.56	3.5412
600	152.778	291.653	3187.77	3.5034
650	141.026	269.220	2942.55	3.4686
700	130.953	249.990	2732.38	3.4365
π	$0.4 \cdot \log(4\Gamma/\mu) \cdot (4\Gamma/\mu)^{0.4}$	hm	hm ²	
300	1.5217	33.25	2305.63	1729.22
350	1.4951	31.27	2168.33	1626.25
400	1.4716	29.64	2055.30	1541.48
450	1.4514	28.28	1960.99	1470.75
500	1.4331	27.11	1879.87	1409.90
550	1.4165	26.09	1809.14	1356.85
600	1.4013	25.20	1747.42	1310.57
650	1.3874	24.40	1691.75	1268.96
700	1.3746	23.69	1647.72	1232.04

TABLA X

Coeficiente global de la zona de calentamiento

N	h_2	h_{∞}^*	tw/kw	l/h
300	133.44	1729.22	0.00043	0.007494
350	132.81	1620.29	"	0.008485
400	109.46	1541.48	"	0.009437
450	96.54	1470.75	"	0.010362
500	80.68	1409.90	"	0.011276
550	62.17	1356.85	"	0.012169
600	76.63	1310.57	"	0.013049
650	73.90	1268.96	"	0.013908
700	67.26	1232.04	"	0.014757

N	$L \cdot D_1$ $\text{cm}^2 \cdot \text{Dc}$	Rd	Σ	Ue
300	0.000500	0.002	0.010424	96.0
350	0.000532	"	0.011447	87.4
400	0.000561	"	0.012428	80.5
450	0.000588	"	0.013380	74.8
500	0.000613	"	0.014319	69.9
550	0.000637	"	0.015236	65.7
600	0.000660	"	0.016139	62.0
650	0.000682	"	0.017020	58.8
700	0.000702	"	0.017889	56.0

TABLA XI
Coeficiente global de la zona de ebullición.

N	h_e	h_g	t_w/k_w	L/h_e
300	1232.81	2305.61	0.00043	0.000723
350	1222.34	2160.33	"	0.000818
400	1210.72	2055.16	"	0.000910
450	1197.68	1960.97	"	0.001000
500	1191.06	1879.87	"	0.001088
550	1185.00	1809.14	"	0.001176
600	1181.00	1747.42	"	0.001259
650	1174.97	1691.95	"	0.001342
700	1172.00	1642.22	"	0.001424
N	Σh_e	kg	Σ	v_e
300	0.000434	0.001	0.002587	386.6
350	0.000461	"	0.002709	369.2
400	0.000486	"	0.002826	353.9
450	0.000510	"	0.002940	340.2
500	0.000532	"	0.003050	327.9
550	0.000553	"	0.003159	316.6
600	0.000572	"	0.003261	306.7
650	0.000591	"	0.003363	297.4
700	0.000609	"	0.003463	288.8

TABLA XII

Longitud de ebullición necesaria

N	U_g	$P=225$	L_e ft					100
			200	175	150	125	100	
300	186.6	14.85	17.13	20.39	25.53	35.27	64.55	
350	169.2	13.31	15.38	18.30	22.92	31.66	57.95	
400	153.2	12.15	14.04	16.71	20.92	28.90	52.89	
450	140.7	11.25	12.26	15.14	19.14	26.72	48.87	
500	127.9	10.50	12.12	14.42	18.06	24.95	45.66	
550	116.6	9.89	11.41	13.58	17.00	23.49	42.98	
600	106.7	9.36	10.80	12.85	16.09	22.28	40.68	
650	97.4	8.90	10.28	12.24	15.32	21.16	38.73	
700	90.4	8.52	9.83	11.70	14.65	20.24	37.04	

TABLA XIII

Longitud de ebullición necesaria para $P = 150$ psig

π	E/S	$a \text{ ft}^2/\text{ft}$	$a\Delta T_e$	U_e
300	215.276	0.4534	21.718	386.6
350	201.666	*	*	369.2
400	176.4575	*	*	353.9
450	156.851	*	*	340.2
500	141.166	*	*	327.9
550	128.133	*	*	316.6
600	117.638	*	*	306.7
650	108.589	*	*	297.4
700	100.932	*	*	288.8
	π	$a\Delta T_e U_e$	L_e	
300		8396.16	25.53	
350		8010.29	22.92	
400		7686.0	20.92	
450		7388.46	19.34	
500		7121.33	18.06	
550		6875.92	17.0	
600		6660.91	16.09	
650		6456.93	15.32	
700		6272.16	14.65	

TABLA XIV

Longitud de calentamiento

N	$C_P C(T_{\infty} - T_0)$	Para $T_0 = 140^{\circ}\text{F}$		
		ΔT_c	v_c	L_c
100	6.0	73.6	96.0	19.08
150	6.0	73.6	87.4	17.95
200	6.0	73.6	80.5	17.06
250	6.0	73.6	74.8	16.32
300	6.0	73.6	69.9	15.71
350	6.0	73.6	65.7	15.23
400	6.0	73.6	62.0	14.76
450	6.0	73.6	58.8	14.37
500	6.0	73.6	56.0	14.01
Para $T_0 = 250^{\circ}\text{F}$				
100	6.0	70.0	96.0	17.61
150	6.0	70.0	87.4	16.60
200	6.0	70.0	80.5	15.82
250	6.0	70.0	74.8	15.14
300	6.0	70.0	69.9	14.58
350	6.0	70.0	65.7	14.10
400	6.0	70.0	62.0	13.69
450	6.0	70.0	58.8	13.33
500	6.0	70.0	56.0	13.02

para $T_0 = 260^{\circ}\text{F}$

π	$C_{p_0}(T_0 - T_0)$	ΔT_c	U_c	b_c
300	5.3	66.4	96.0	16.14
350	5.8	66.4	87.4	15.19
400	6.3	66.4	80.5	14.43
450	6.8	66.4	74.8	13.80
500	7.3	66.4	69.9	13.29
550	7.8	66.4	65.7	12.86
600	8.3	66.4	62.0	12.49
650	8.8	66.4	58.8	12.16
700	9.3	66.4	56	11.85

para $T_0 = 270^{\circ}\text{F}$

100	4.4	62.6	96.0	14.51
150	4.4	62.6	87.4	13.66
200	4.4	62.6	80.5	12.98
250	4.4	62.6	74.8	12.41
300	4.4	62.6	69.9	11.95
350	4.4	62.6	65.7	11.56
400	4.4	62.6	62.0	11.24
450	4.4	62.6	58.8	10.93
500	4.4	62.6	56.0	10.66

Para $T_0 = 280^\circ$

n	$C_{P_0}(T_0 - T_0)$	ΔT_c	U_c	L_c
200	36	58.8	96.0	12.69
350	36	58.8	87.4	11.91
400	36	58.8	80.5	11.30
450	36	58.8	74.6	10.81
500	36	58.8	69.9	10.41
550	36	58.8	65.7	10.07
600	36	58.8	62.0	9.78
650	36	58.8	58.8	9.52
700	36	58.8	56.0	9.28

TABLA XV
longitud total

Para $T_0 = 140^{\circ}\text{F}$					
n	$P = 225$	200	175	150	125
300	31.93	16.21	19.47	44.61	54.35
350	14.20	13.33	16.26	40.87	49.61
400	19.31	31.10	11.77	17.98	46.96
450	27.57	29.30	11.76	35.66	40.04
500	26.21	27.63	30.11	33.77	40.66
550	25.12	26.64	20.81	32.23	38.72
600	24.12	25.56	27.61	30.85	37.09
650	23.22	24.65	26.61	29.69	35.53
700	22.53	23.64	25.71	28.66	34.25
Para $T_0 = 250^{\circ}\text{F}$					
300	12.46	14.64	39.00	43.14	52.88
350	19.43	31.90	34.90	39.52	48.26
400	27.97	29.86	32.53	38.24	44.72
450	26.39	28.12	30.58	34.48	41.86
500	25.08	26.70	29.00	32.64	39.53
550	23.99	25.51	27.69	31.10	37.59
600	23.05	24.49	26.54	29.78	35.97
650	22.23	23.64	25.57	29.85	34.49
700	21.54	22.85	24.72	27.67	33.26

Para $T_0 = 260^{\circ}\text{F}$

W	$P \approx 225$	200	175	150	125
100	30.39	30.27	36.53	41.67	51.41
150	28.52	30.57	31.49	38.11	46.25
200	26.58	28.47	31.14	35.35	43.33
250	25.05	26.78	29.24	33.14	40.52
300	23.79	25.41	27.71	31.35	38.24
350	22.75	24.27	26.44	29.86	36.35
400	21.85	23.29	25.34	28.55	34.77
450	21.06	22.44	24.40	27.48	33.32
500	20.37	21.68	23.55	26.50	32.09

Para $T_0 = 270^{\circ}\text{F}$

W	$P \approx 225$	200	175	150	125
100	29.36	31.64	34.90	40.04	49.79
150	26.99	29.04	31.96	36.58	45.32
200	25.13	27.02	29.69	33.90	41.88
250	23.66	25.37	27.89	31.75	39.13
300	22.45	24.07	26.37	30.01	36.90
350	21.45	22.97	25.14	28.56	35.05
400	20.50	22.04	24.09	27.33	33.52
450	19.83	21.21	23.17	26.25	32.09
500	19.18	20.49	22.36	25.31	30.90

Para $T_0 = 280^{\circ}\text{F}$

χ	$P = 225$	200	175	150	125
300	27.54	29.02	31.08	30.17	47.96
350	25.24	27.29	30.21	34.03	43.57
400	23.45	25.34	28.01	32.22	40.20
450	22.06	23.79	26.23	30.15	37.53
500	20.71	22.53	24.83	28.47	35.36
550	19.36	21.48	23.65	27.07	33.56
600	19.14	20.56	22.63	25.87	32.06
650	18.92	19.70	21.76	24.84	30.68
700	17.80	19.11	20.98	23.93	29.52

TABLA XVI

T_0	$(T_0 - T_f)$	Cálculo de $q/q = 0$			Q
		$R_{\text{sc}} C_p \Delta T$	τ	λ	
240	76	16.192 435.4	64	216 758.75	80 710 925.15
230	66	16.235 367.4	*		78 554 061.15
220	56	16.278 309.4	*		76 397 197.15
210	46	16.321 251.4	*		74 240 333.15
200	36	16.364 210.4	*		72 083 469.15

Para calcular el coeficiente total de transferencia se toman los valores que nos dan una longitud-cercana a los 20 ft.

Cálculo de U total

$$U = \frac{(14.63) (290.5) + 19.561}{27.65} = 179.4 \text{ BTu/hrft}^{\circ}\text{F}$$

$$U = \frac{19.12 (297.4) + 17.16 (58.81)}{27.48} = 192 \text{ "}$$

$$U = \frac{19.07 (352.7) + 17.19 (62)}{28.75} = 198.6 \text{ "}$$

$$U = \frac{19.09 (100.7) + 17.24 (62)}{27.33} = 206 \text{ "}$$

$$U = \frac{19.06 (121) + 17.56 (65.7)}{28.56} = 215 \text{ "}$$

$$\frac{Q}{A_{\text{evap}}} = \frac{17(116.9) + 19.97(65.7)}{27.07} = 223 \text{ BTU/hr ft}^2 P$$

$$\frac{Q}{A_{\text{evap}}} = \frac{119.061(127.9) + 10.411(69.9)}{28.45} = 233$$

Con base en lo anterior, se eligió como la presión más adecuada 100 psig, y el número de tubos 300. Como otra posibilidad se consideró pro proporcionar el calor sensible a las salmueras, circulando estas a velocidades altas dentro del propio evaporador.

Condiciones de operación:

$$\text{Casto de salmueras} = 270 \text{ 000 lb/hr} = 1.054 \text{ ft}^3/\text{seg}$$

$$\text{Temp. inicial} \quad 260^\circ \text{F}$$

$$\text{Temp. final (de ebullición)} \quad 123^\circ \text{F}$$

$$q/A = 270 \text{ 000} \times 0.85 \times (123-260) = 14.9 \times 10^6 \text{ BTU/hr}$$

Para velocidades de 1.1 ft/seg:

$$\text{Sección de flujo} = 1.054/1.1 = 0.459 \text{ ft}^2$$

$$\text{Sección de flujo de un tubo} = 0.0164 \text{ ft}^2$$

$$\text{Número de tubos} = 223$$

Coeficiente de transferencia lado de salmueras:

$$h_f = 0.023n \cdot (Re)^{0.8} \cdot (Pr)^{0.4} \cdot 0.78$$

$$Re = \frac{D_2 G_f}{\mu} = \frac{0.1443 \times 270.000 \times 1.159}{0.0164} = 99000$$

$$(Re)^{0.8} = (0.99)^{0.8} \times 10^4 = 9.920$$

$$h_f = 0.0270 \times 2.920 \times 1.26 \times 2.613 = 920$$

$$U_c = \frac{1}{1/101 + 0.00043 + 0.000562 + 0.0001} = 326 \text{ BTU/hr ft}^2 \text{ F}$$

$$A_c = 14.9 \times 10^6 / (363 \times 66.3) = 690 \text{ ft}^2$$

$$\text{Área de } 20 \text{ tubos} = 20 \times 20 \times 0.4534 = 356 \text{ ft}^2$$

$$\text{Número de pasos} = 690/356 = 1.94$$

Instalando dos pasos de 20 tubos:

$$\text{Área de calentamiento} = 2 \times 10 \times 20 \times 0.4534 = 712 \text{ ft}^2$$

Área de ebullición

$$A_e = \frac{712 \times 10^6}{340 \times 46} = 4.111 \text{ ft}^2$$

$$\text{Área total del evaporador} \quad 4.828 \text{ ft}^2$$

Tubos totales del evaporador

Calentamiento 56 tubos

Ebullición 324 tubos

Total 380 tubos

Área de calentamiento si se utiliza la calandria del nuevo evaporador para ceder calor sensible a las salmueras — circulando éstas a velocidades altas y alimentando a temperatura de descarga de los primeros efectos actuales (240°F):

$$q/\theta = 270.000 \times 0.85 \times (325-240) = 19.5 \times 10^6 \text{ BTU/hr}$$

$$T_c = 73.4^\circ\text{F}$$

$$U_c = 250 \text{ BTU/hr ft}^2 \text{ F}$$

$$A_c = \frac{19.5 \times 10^6}{73.4 \times 250} = 1062 \text{ ft}^2$$

$$L_c = 20 \text{ ft}$$

$$A_{\text{tubo}} = 2\pi \times 0.4534 = 12.7 \text{ ft}^2$$

$$N_{\text{tubo}} = 1.062 / 12.7 = 84$$

$$N_{\text{paso}} = 4$$

$$N_{\text{tubo/paso}} = 21$$

Área de ebullición 4.111 ft^2

Área de calentamiento 1.062 ft^2

Área total 5.173 ft^2

Tubos:

Para calentamiento 84

Para ebullición 324

Total 408

Se determinó el diámetro de la calandria por el método que presenta Ludwig (ver fig. 9), para 450 y 550 tubos. En la gráfica se escogió un pitch triangular de 2 1/8in.

N	Diámetro de la calandria
450	55.1in 4.61ft
550	61.5in 5.13ft

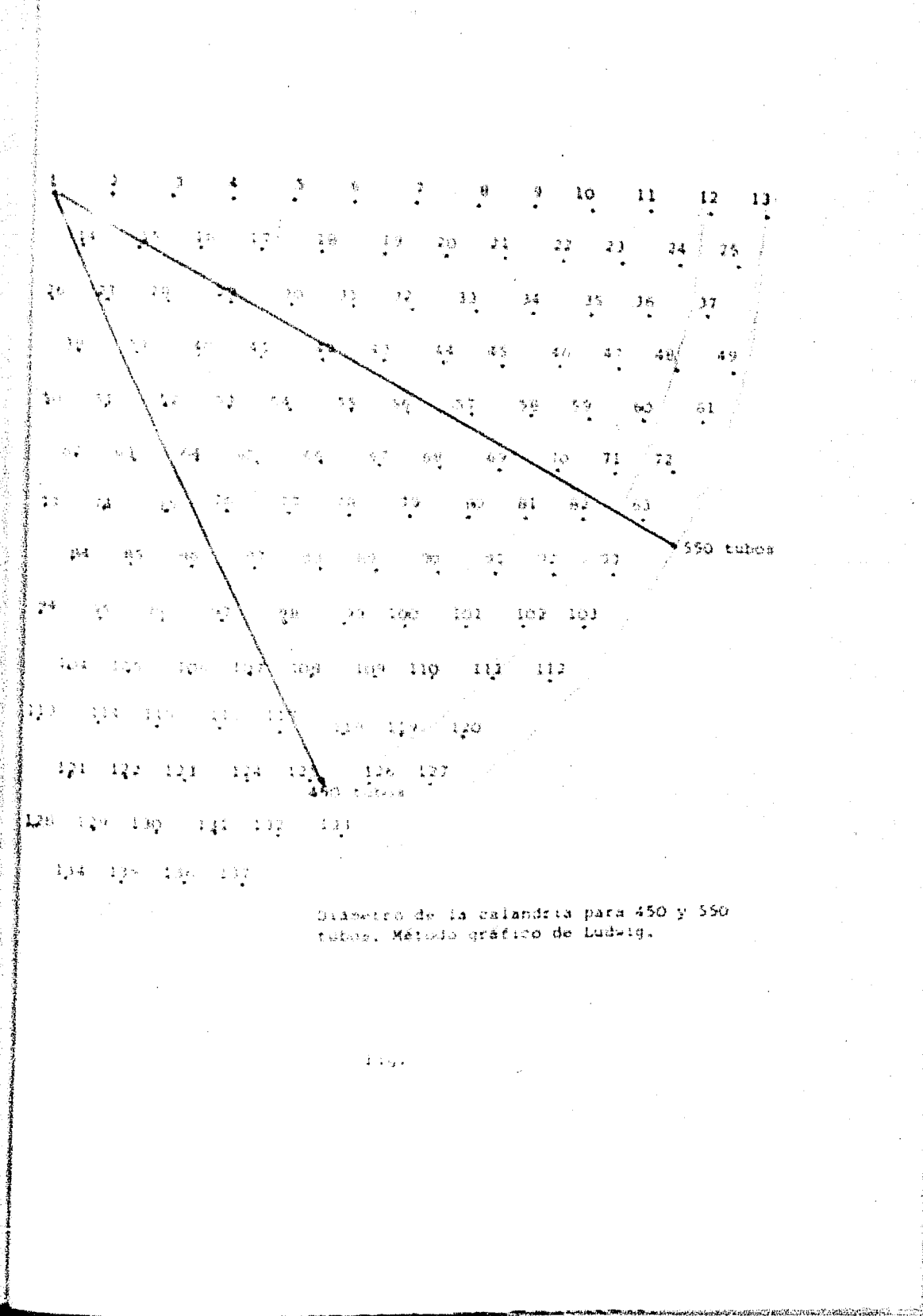
El diámetro del domo se calculó aplicando la ecuación de Sondera, que en ambos casos fue la misma.

Diámetro del domo

$$d = \sqrt{k \cdot e_{\text{t}} \cdot e_{\text{c}} \cdot e_{\text{g}}} \quad 31$$

$$k = 0.1 \quad D = 0.5 \text{ ft}$$

El espesor de la calandria se determinó por el método



Diámetro de la calandria para 450 y 550
tubos. Método gráfico de Ludwig.

(9)

$$t = \frac{PA}{Re + 0.67} + C$$

32

$$\alpha = 00\% \quad C = 1/8in$$

X	T espesor
450	0.5099in
550	0.5512in

El triple efecto de la sección 81 se calculó y se consideró que sería igual a los ya existentes, con las siguientes características:

Presión de operación en el primer efecto: 60 psig

Área de cada cuerpo: 5.700 ft²

Número de tubos: 450 tubos por efecto

6.- Efecto Adicional.

Considerando la opción al se encuentra que es necesario tener un equipo de control del efecto que consistirá básicamente en medidores de presión y temperatura, así como medidores de flujo tanto de salmuera como de vapor.

Se considera que de preferencia al sistema que se establezca dentro de un sistema de admisión, es decir, que exista una válvula automática que regule la entrada de la salmuera y la presión en la calandria del evaporador. Los medidores de presión deberán colocarse en la calandria, en el domo, y posiblemente después de la válvula de reducción. Los medidores de temperatura se colocarán en el domo, a la salida del condensado y en la entrada de la salmuera.

Los medidores de flujo estarán en la entrada al evaporador de las salmueras, en la salida del vapor, y en la entrada del vapor de calentamiento.

Es recomendable que todos estos instrumentos registren en un panel de control común.

Al efecto cero deberá colocarse una bomba de las siguientes características para su funcionamiento:

Gasto 3.100 m³/D

Cabeza 7 kg/cm²

Motor 65 HP

Como se mencionó en el capítulo anterior, es necesario interconstruir en la estanca calandria el precalentador, pero también se peseó la posibilidad de construir un precalentador-externo con vapor vivo; el cálculo se efectuó por el método convencional y se obtuvieron los siguientes resultados:

Fluido de calentamiento:	Vapor de 10.5 Kg. (150 psig)
Gasto:	150 T/D = 13 750 lb/hr.
Fluido por calentar:	Salmuera
Temperatura inicial:	135°C 275°F
Temperatura final:	163°C 325°F
Gasto:	2 940 T/D=270 000 lb/hr.
Cambiador de calor:	
Área interna de calentamiento	62.4 m ² 671 ft ²
Diámetro de tubos 10 SWG	50.4 mm 2.00 in
Longitud de tubos	2.82 m 9.25 ft
Número total de tubos	160
Tubos por paso	16
Número de pasos en los tubos	10
Número de pasos en el envolvente	1

También será necesario por condiciones específicas de la planta que los condensados sin flashear sean enviados a las calderas. Para ello fue necesario, al pensar en la integración del proyecto, enfriar los condensados intercambiando su calor con la salmuera. Los resultados del cálculo del proyectado apa-

se dan a continuación:

Fluido de calentamiento: condensados a 10.5 Kg. (150 psig)

Temperatura inicial 163°C = 364°F

Temperatura final 127°C = 260°F

Cañatec 1 000 T/D = 91 600 lb/hr

Fluido por calentar: Sales mineras

Temperatura inicial 116°C = 240°F

Cañatec 2 940 T/D = 270 000 lb/hr

Cambiador de calor:

Área interna de calentamiento 85.6 m² = 920 ft²

Diámetro de tubos 10 mm = 2.00 in

Lengüetud de tubos 2.82 m = 9.25 ft

Número total de tubos 220

Tubos por paño 22

Número de paños en los tubos 10

Número de paños en el envolvente 2

Mamparras en el envolvente 16

7.- ESTIMACION ECONOMICA DEL PROYECTO.

Para efectuar el cálculo del costo de los equipos se emplearon ecuaciones teóricas (8) que a continuación se presentan:

$$\text{Evaporadores} \quad y = 64,736 \times 0,628 \quad x = \text{ft}^2$$

$$\text{Recipientes a presión} \quad y = 68,137 \times 0,536 \quad x = \text{gal}$$

	Opción efectos cero	Opción triple efecto
Inversión 1a. etapa	\$1,383,030.00	\$1,383,030.00
Inversión 2a. etapa	\$3,018,764.00	\$8,988,600.00
Inversión total:	\$4,401,794.00	\$10,371,630.00
Aumento en capacidad de evaporación:	3,000 T/D	2,000 T/D
Inversión por Ton de evaporación:	\$/T 1,467.26	\$/T 5,185.81
Consumo adicional de vapor:	0	1,000 T/D
Aumento en los costos de operación por vapor (sin incluir la inversión en- generación):	0	\$/D 10,000.00

8.- CONCLUSIONES.

El estudio muestra que utilizando la alternativa a) se aumenta la capacidad de evaporación de la planta sin aumentar el consumo de vapor, ya que la capacidad instalada es insuficiente para la producción de 600 t/d de soda.

La instalación de tres evaporadores de alta presión que utilicen el vapor vivo que actualmente se expande en válvulas y que operan como postevaporadores de los múltiples efectos de salmuera, resuelve el problema de bajas producciones en las temperaturas de salmueras diluidas, sin necesidad de ampliar el departamento de calderas. La economía de 2.40 que se obtendría, permite manejar salmueras del caracel de 0.207 AT p/v sin afectar la producción de 600 T/D de soda ash.

El Área de calentamiento de cada postevaporador corresponde a la de un cuerpo del cuádruple efecto si el calor sensible se proporciona en el total de los tubos del evaporador a las salmueras, y a la de un cuerpo de los triplos efectos, si el calentamiento hasta la temperatura de ebullición se efectúa en un número reducido de tubos en los que las salmueras circulan a velocidades superiores a 2 ft/seg.

La formación de CO₂ en los postevaporadores será muy energética, considerando las altas temperaturas de ebullición, extiendiéndose los problemas de corrosión a los primeros efectos -

de los múltiples actuales. Sería conveniente hacer un estudio al respecto, seleccionando inhibidores o tubos de materiales apropiados.

El bajo porcentaje de bicarbonato en las salmueras que se alimentan a las torres de carbonatación no será un inconveniente serio, ya que la absorción inicial del CO₂ será muy energética, alcanzándose rápidamente el grado de carbonatación actual.

Debido a una serie de problemas de materiales, la opción de los efectos cero presenta algunas dudas y por este motivo la forma posible de desarrollar el correcto sería efectuándolo en dos etapas. Primero, en planta experimental se instalaría un efecto con una inversión de \$1 383 000; después de enfrentarse a los problemas particulares de este equipo, se optaría por una de las dos siguientes posibilidades: si no se presentan problemas serios, se instalarían los otros dos efectos cero con una inversión de \$3 016 764; pero si se presentan resultados adversos, se instalarían dos cuerpos más para disponer de un nuevo triple efecto, teniendo que instalar también una caldera y un tratamiento de agua con sus accesorios, con una inversión de \$10 371 630.

La selección de postevaporadores iguales a los cuerpos de un cuádruple efecto sería la solución más apropiada pues la diferencia radica únicamente en el costo de 100 tubos. Si no es

así, habría que instalar cuerpos iguales a los del triple efecto, circulando las salmueras a velocidades superiores a ----- 2 ft/sog.

N O T A . -

Después de concluido este estudio, la empresa decidió llevar a cabo las obras tendientes a lograr un aumento en la capacidad de evaporación.

Las características del equipo construido no coinciden en su totalidad con las aquí propuestas. Sin embargo, nos parece de interés comparar los datos reales obtenidos del nuevo equipo en operación con los datos teóricos calculados en este estudio.

p psia	U_{real} BTU/hrft ² °F	A ft ²	h_1	l/h_1	he		
108.0	661	7 000	99.7	0.010030	1042		
82.3	694	7 000	89.89	0.011124	1377		
69.5	671	7 000	81.43	0.012280	1597		
P	$1/he$	hm	hm^*	$1/hm$	$1/hm^*$ $\frac{D_i}{D_o}$		
108.0	0.000959	1917	1437.8	0.000521	0.000695		
82.3	0.000726	1647	1235.2	0.000607	0.000809		
69.5	0.000626	1475	1106.2	0.000678	0.000903		
P	U_e	U_e	t_e °F	t_e °F	L_e ft	L_e ft	L_t ft
108.0	523.5	903.9	21.64	23.64	27.03	0.54	27.57
82.3	567.2	808.7	31.32	18.46	25.12	2.09	27.21
69.5	576.7	734.5	28.82	17.50	25.18	2.06	27.34

P	Ut	Ur/Ut
100.0	512	1.27
82.3	569	1.22
69.5	563	1.20

Se puede ver que el método empleado es adecuado debido -
a que nos da un margen de seguridad aceptable de un 20-25%.

AGRADECIMIENTOS

Deseo hacer constar mi mas profundo agradecimiento a Sa
sa Texcoco, S. A., por haberme permitido llevar a cabo este es
tudio en su planta así como el haber utilizado datos y medicio
nas de la misma.

Al Ing. Alberto Bremantz, que tuvo a bien dirigir este
trabajo, mi gratitud más sincera, no solo por este hecho, sino
por haber sido él quién me ha guiado y motivado en muchas oca-
siones a través de todos mis estudios de Ingeniería Química.

Rodolfo Quintero R.

9.- REFERENCIAS.

1. Badyer, W.L. y Banchero J. T., Introduction to Chemical Engineering, Mc Graw - Hill Book Co., 212, 1955.
2. Blackadder, D. A., y Nedderman, P.H., A Handbook of --- Unit Operations, Academic Press, 125, 1971.
3. Coates, J. y Pressburg, R. S., How Heat Transfer Occurs in Evaporators, Chem. Eng. Vol. 139, 1960.
4. Domínguez, A.R., Anteproyecto del Sistema de Recuperación de Bicarbonato de Sodio de Aguas Madres en una Planta de Carbonato de Sodio, Tesis Profesional, 2, 1969.
5. Henley, E. J. y Rosen, E. M., Material and Energy Balance Computations, John Wiley & Sons, Inc., 517, 1969.
6. Kern, D.Q., Process Heat Transfer, Mc. Graw - Hill, 302 1950.
7. Perry, H.H., Chemical Engineers Handbook, Mc Graw - Hill Book Co., 11-31, 1963.
8. Petro Chem Engineer, Process Economic Handbook, 30, Mayo, 1970.
9. Rase, F.H. y Barrow, M. H., Project Engineering of Process Plants, John Wiley & Sons, Inc., 202, 1968.